1	UNIVERSIDADE FEDERAL DO RIO GRANDE – FURG
2	INSTITUTO DE OCEANOGRAFIA
3	PROGRAMA DE PÓS-GRADUAÇÃO EM AQUICULTURA
4	
5	
6	YAK
7	1 July 2 Miles
8	
9	
10	
11	
12	
13	
14	
15	
16	
17	CULTIVO MULTITRÓFICO INTEGRADO (IMTA) EM SISTEMA DE
18	BIOFLOCOS (BFT) COM DIFERENTES ABORDAGENS:
19	QUIMIAUTOTRÓFICO E HETEROTRÓFICO
20	
21	
22	
23	
24	
25	JORGE RENATO TAGLIAFERRO DOS SANTOS JUNIOR
26	
27	
28	
29	RIO GRANDE, RS
30	2023

31	UNIVERSIDADE FEDERAL DO RIO GRANDE – FURG
32	INSTITUTO DE OCEANOGRAFIA
33	PROGRAMA DE PÓS-GRADUAÇÃO EM AQUICULTURA
34	
35	
36	
37	CULTIVO MULTITROFICO INTEGRADO (IMTA) EM SISTEMA DE
38	BIOFLOCOS (BFT) COM DIFERENTES ABORDAGENS:
39	QUIMIAUTOTRÓFICO E HETEROTRÓFICO
40	
41	
42	JORGE RENAO TAGLIAFERRO DOS SANTOS JUNIOR
43	
44	
45	ORIENTADOR: PROF. DR. LUIS HENRIQUE DA SILVA POERSCH
46	CO-ORIENTADOR(a): PROF. DR(a). MARIANA HOLANDA
47	
48	
49	
50	Dissertação apresentada como part
51	dos requisitos para obtenção do gra
52	de Mestre em Aquicultura pel
53	Programa de Pós-Graduação en
54	Aquicultura da Universidade Federa
55	do Rio Grande.
56	
57	
58	
59	RIO GRANDE, RS
60	JULHO DE 2023



DE DEFESA DA 226º DISSERTAÇÃO DE MESTRADO EM AQUICULTURA

No dia dezenove de julho de dois mil e vinte e três, às dez horas, reuniu-se a Banca Examinadora de Dissertação de Mestrado em Aquicultura, do JORGE RENATO TAGLIAFERRO DOS SANTOS JUNIOR, orientado pelo Prof. Dr. Luis Henrique Poersch composta pelos seguintes membros: Prof. Dr. Luis Henrique Poersch (orientador -IO/FURG), Prof.^a Dr.^a Mariana Holanda Paes Barboza (coorientadora - Pontificia Universidad Católica de Valparaíso - Chile), Prof. Dr. Dariano Krummenauer (IO/FURG) e o Prof. Dr. Davi Peñaranda (Universidad Politecnica de Valencia - Espanha). Título da dissertação: "CULTIVO MULTITRÓFICO INTEGRADO (IMTA) EM SISTEMA DE BIOFLOCOS (BFT) COM DIFERENTES ABORDAGENS: QUIMIAUTOTRÓFICO E HETEROTRÓFICO." Dando início à defesa, o Coordenador do PPGAg Prof. Dr. Ricardo Vieira Rodrigues, passou a presidência da sessão ao Prof. Dr. Luis Henrique Poersch, que na qualidade de orientador, passou a palavra para o candidato apresentar a Dissertação. Após ampla discussão entre os membros da Banca e o candidato, a Banca se reuniu sob a presidência do Coordenador. Durante esse encontro ficou estabelecido que as sugestões dos membros da Banca Examinadora devem ser incorporadas na versão final da dissertação, ficando a cargo do Orientador o cumprimento desta decisão. O candidato JORGE RENATO TAGLIAFERRO DOS SANTOS JUNIOR foi considerado APROVADO, devendo a versão definitiva da Dissertação ser entregue a Secretaria do PPGAq, no prazo estabelecido nas Normas Complementares do Programa. Nada mais havendo a tratar, foi lavrada a presente ata, que após lida e aprovada, será assinada pela Banca Examinadora, pelo candidato e pelo Coordenador do PPGAq.

PROF. DR. LUIS HENRIQUE POERSCH (ORIENTADOR - IO/FURG)

DR.ª MARIANA HOLANDA PAES BARBOZA (COORIENTADORA – PUCV - Chile)

PROF. DR. DARIANO KRUMMENAUER (IO/FURG)

PROF. DR. DAVI PEÑARANDA (UPV - Espanha)

JORGE RENATO TAGLIAFERRO DOS SANTOS JUNIOR

PROF. DR. RICARDO VIEIRA RODRIGUES (Coordenador do PPGAq)

Ficha Catalográfica

S237c Santos Junior, Jorge Renato Tagliaferro dos.

Cultivo multitrófico integrado (IMTA) em sistema de bioflocos (BFT) com diferentes abordagens : quimiautotrófico e heterotrófico / Jorge Renato Tagliaferro dos Santos Junior. – 2023. 35 f.

Dissertação (mestrado) – Universidade Federal do Rio Grande – FURG, Programa de Pós-Graduação em Aquicultura, Rio Grande/RS, 2023.

Orientador: Dr. Luis Henrique da Silva Poersch. Coorientadora: Dra. Mariana Holanda.

1. IMTA 2. Bioflocos 3. Nutrientes 4. Sólidos suspensos totais 5. Camarão 6. Tilápia 7. Fertilizações I. Poersch, Luis Henrique da Silva II. Holanda, Mariana III. Título.

CDU 639.3

Catalogação na Fonte: Bibliotecária Vanessa Ceiglinski Nunes CRB 10/2174

Índice

62	Agrade	cimentovi
63	Lista d	e Tabelasvii
64	Lista d	e Figurasviii
65	Resum	0ix
66	Abstra	ctx
67	1 In	trodução Geral1
68	2 O	bjetivos8
69	2.1	Objetivo Geral8
70	2.2	Objetivos Específicos8
71	3 M	aterial e Metódos9
72	3.1	Ética animal9
73	3.2	Local9
74	3.3	Procedência dos animais e aclimatação9
75	3.4	Sistemas de cultivo e delineamento experimental9
76	3.5	Manejo Alimentar10
77	3.6	Qualidade da Água11
78	3.7	Desempenho de Crescimento11
79	3.8	Análise Estatística12
80	4 R	esultados12
81	4.1	Qualidade da Água12
82	4.2	Insumos
83	4.3	Desempenho de crescimento18
84	5 D	iscussão20
85	6 C	onclusão25
86	7 R	eferências Bibliográficas26

88 Agradecimento 89 Agradeço a minha esposa Luana por sempre estar do meu lado, me ajudando, me 90 apoiando e por ser presente em mais um momento importante na minha vida, minha maior 91 incentivadora durante este mestrado, te amo. 92 Agradeço a toda minha família, mesmo de longe eu sei que estão torcendo por mim, 93 em especial a minha mãe, que sempre me incentivou aos estudos e nunca duvidou da 94 minha capacidade, obrigado por tudo. 95 Agradeco a todos os professores, em especial para os meus professores da pós 96 graduação em Aquicultura da FURG, mas também aqueles que foram meus professores 97 na escola e na graduação, obrigado por todo conhecimento repassado, gratidão. 98 Agradeço a meu orientador Dr. Luis Henrique da Silva Poersch e a minha Co-99 orienadora Dr(a). Mariana Holanda, muito obrigado pela oportunidade e confiança. 100 Agradeço a equipe da GH4, obrigado Andrezza por sempre me ajudar durante todo 101 este trabalho, obrigado pelas ajudas nas análises e na construção desta dissertação, 102 obrigado Mayra por dividir as rotinas na ema e pelas ideias trocadas. 103 Agradeço também aos pós doutorandos, técnicos de laboratórios e aos terceirizados, 104 sem vocês todos os trabalhos que ocorrem na EMA não seria possível. 105 A todos meus colegas, muito obrigado pela ajuda, pelas conversas e troca de 106 conhecimentos nos corredores da EMA. 107 Por ultimo, mas não menos importante dos demais, meu muito obrigado a todos 108 financiadores do Programa: Capes, CNPq, FAPERGS, Finep e Astral, assim como todos 109 os apoioadores: Projeto Camarão, all-aqua, Aquatec, Guabi, Inve e Trevisan. 110 111 112

113

114

115

116

Tabela 1: Parâmetros de qualidade da água nos tratamentos TQ (quimioautotrófico) e Tabela 2: Relação das quantidades de insumos utilizados nos tratamentos TQ (quimioautotrófico) e TH (heterotrófico) ao longo de 86 dias experimentais......18 **Tabela 3**: Resultados de desempenho de cresciemento e sobrevivência do camarão (L. vannamei) e tilápia (O. niloticus) produzidos em sistema multitrófico e bioflocos

Lista de Tabelas

144 Lista de Figuras

145	Figura 1: Modelo demonstrativo de um sistema IMTA (Fonte: Google Imagens) 3
146	Figura 2: Exemplar de camarão branco do Pacifico L. vannamei e tilápia do Nilo O.
147	niloticus4
148	Figura 3 : Modelo do sistema IMTA utilizado
149	Figura 4: Níveis médios de nitrogênio amoniacal total nos tratamentos quimioautotrófico
150	(TQ) e heterotrófico (TH) ao longo do período experimental. (*) indica diferença
151	significativa entre os tratamentos no mesmo dia, após teste t de Student
152	Figura 5: Níveis médios de nitrito nos tratamentos quimioautotrófico (TQ) e
153	heterotrófico (TH) ao longo do período experimental. (*) indica diferença significativa
154	entre os tratamentos no mesmo dia, após o teste t de Student
155	Figura 6: Níveis médios de nitrato nos tratamentos quimioautotrófico (TQ) e
156	heterotrófico (TH) ao longo do período experimental. (*) indica diferença significativa
157	entre os tratamentos no mesmo dia, após o teste t de Student
158	Figura 7: Níveis médios de fosfato nos tratamentos quimioautotrófico (TQ) e
159	heterotrófico (TH) ao longo do período experimental. (*) indica diferença significativa
160	entre os tratamentos no mesmo dia, após o teste t de Student
161	Figura 8: Níveis médios de sólidos suspensos totais (SST) nos tratamentos
162	quimioautotrófico (TQ) e heterotrófico (TH) ao longo do período experimental. (*) indica
163	diferença significativa entre os tatamentos no mesmo dia, após o teste t de Student 17
164	
165	
166	
167	
168	
169	
170	
171	
172	

Resumo

173

174

175

176

177

178

179

180

181

182

183

184

185

186

187

188

189

190

191

192

193

194

195

196

197

198

199

200

201

O objetivo do presente trabalho foi avaliar o desempenho do camarão *Litopenaeus* vannamei e da tilápia Oreochromis niloticus em sistema multitrófico integrado (IMTA) juntamente com a tecnologia de bioflocos (BFT) com diferentes predominâncias bacterianas: quimioautotrófico e heterotrófico. Para a realização do trabalho foram desenvolvidos dois tratamentos (em triplicata): TQ (quimioautotrófico) e TH (heterotrófico). O tratamento TQ foi iniciado 46 dias antes da estocagem dos animais, com fertilização inorgânica, utilizando sais de cloreto de amônia e nitrito de sódio. Já no tratamento TH foi realizada fertilização orgânica após a estocagem dos animais, com melaço de cana de açúcar assim que a amônia total (NAT) atingiu 1 mg L⁻¹. Foram utilizados 400 camarões m⁻² (0.98 \pm 0.04 g) e 45 alevinos de tilápia m⁻³ (25 \pm 0.50 g), mantidos durante 86 dias em tanques com 16 m³ e 4 m³ de volume útil, respectivamente. Ocorrendo a recirculação contínua da água entre os tanques. Os parâmetros de qualidade da água como temperatura, oxigênio e pH foram monitorados diariamente. Amônia total, nitrito, nitrato, fosfato, sólidos suspensos totais e sólidos sedimentáveis eram monitorados duas vezes na semana. Foram realizadas biometrias semanais dos camarões, e quinzenais dos peixes para acompanhar o desempenho de crescimento dos animais. Com os dados obtidos nestes procedimentos foram realizados os seguintes cálculos: peso médio final, ganho de peso semanal, taxa de conversão alimentar, sobrevivência, ganho de biomassa e produtividade. Os resultados demonstraram que a fertilização prévia no tratamento quimioautotrófico (TQ) evitou altas concentrações dos compostos nitrogenados por um longo período de tempo, devido ao estabelecimento previo das bactérias no sistema, comparado ao tratamento heterotrófico (TH). O aumento dos compostos nitrogenados no tratamento heterotrófico ocasionou em um maior uso de água, redução da ração e consequentemente menor desempenho de crescimento do camarão comparado ao sistema quimioautotrófico. O desempenho de crescimento do peixe não foi afetado pelos tratamentos. Portanto, o uso de fertilizações prévias no tratamento quimiaoautotrófico (TQ) possibilitou maior peso final e produtividade de camarão no sistema integrado, além de maior sustentabilidade ambiental com zero renovação de água.

202

Palavras-chaves: IMTA, bioflocos, nutrientes, sólidos suspensos totais, camarão, tilápia,
 fertilizações.

Abstract

205

206

207

208

209

210

211

212

213

214

215

216

217

218

219

220

221

222

223

224

225

226

227

228

229

230

231

The aim of the present work was to evaluate the performance of the shrimp Litopenaeus vannamei and the tilapia Oreochromis niloticus in integrated multitrophic system (IMTA) together with biofloc technology (BFT) with different bacterial predominance: chemoautotrophic and heterotrophic. Two treatments were developed (in triplicate): TQ (Chemoautotrophic) and TH (Heterotrophic). The TQ treatment initiated 46 days before stocking the animals, with inorganic fertilization, using ammonium chloride and sodium nitrite salts. In the TH treatment, organic fertilization was performed after stocking the animals, with sugar cane molasses as soon as total ammonia (TAN) reached 1 mg L⁻¹. We used 400 shrimp m⁻² (0.98 \pm 0.04 g) and 45 tilapia fingerlings m⁻³ $(25 \pm 0.50 \text{ g})$, kept for 86 days in tanks with 16 m³ and 4 m³ of usable volume, respectively. Continuous recirculation of water between tanks occurred. Water quality parameters such as temperature, oxygen, and pH were monitored daily. Total ammonia, nitrite, nitrate, phosphate, total suspended solids, and settleable solids were monitored twice a week. Weekly biometry of shrimp and biometry of fish were performed to follow the growth performance of the animals. With the data obtained in these procedures the following calculations were performed: average final weight, weekly weight gain, feed conversion rate, survival, biomass gain, and productivity. The results showed that pre fertilization in the chemoautotrophic treatment (TQ) avoided high concentrations of nitrogen compounds for a longer period of time, due to the previous establishment of bacteria in the system, compared to the heterotrophic treatment (TH). The increased nitrogenous compounds in the heterotrophic treatment resulted in higher water use, reduction of feed and consequently lower growth performance of the shrimp compared to the chemoautotrophic system. The growth performance of fish was not affected by the treatments. Therefore, the use of pre fertilization in the chemoautotrophic (TQ) treatment provided higher final weight and productivity of shrimp in the integrated system, as well as improved environmental sustainability with zero water renewal.

232

233

Key words: IMTA, biofloc, nutrients, total suspended solids, shrimp, tilapia, fertilization.

1 Introdução Geral

A intensificação da atividade aquícola favoreceu o surgimento e/ou agravamento de diversos problemas, como por exemplo o descarte de efluentes sem o devido tratamento (Naylor *et al.*, 2009). Os efluentes oriundos da produção aquicola, geralmente ricos em compostos nitrogenados e matéria orgânica, quando liberado em corpos de água receptores, podem se tornar uma fonte causadora de danos ao meio ambiente, podendo ocasionar modificação da paisagem e possíveis mudanças no ecossistema local, além de aumentar a disseminação de doenças, fator que exerce grande influência na produção aquicola atual (Li *et al.*, 2019).

Para amenizar tais problemas, tem-se empregado novos sistemas de produção, como a tecnologia de bioflocos - *Biofloc Technology* (BFT) (Wasielesky *et al.*, 2006). Este é caracterizado pela mínima ou nenhuma troca de água, reduzindo a entrada de possíveis organismos patogênicos, além de atuar no controle dos compostos nitrogenados, realizado pela comunidade bacteriana presente no meio, podendo proporcionar maiores produções em menor espaço e com melhor biossegurança (García-Ríos *et al.*, 2019; Robles-Porchas *et al.*, 2020).

O sistema BFT caracteriza-se por possuir aglomerados de microrganismos, formados por bactérias, fungos, protozoários e microalgas, bem como detritos (fezes, exoesqueletos de animais mortos e restos de ração), denominados também de floco microbiano ou bioflocos (Wasielesky *et al.*, 2006; Huang *et al.*, 2013). É considerado fonte de ácidos graxos, aminoácidos essenciais, vitaminas e minerais e imunoestimulante (Martínez-Córdova *et al.*, 2016; Moreno-Arias *et al.*, 2018). Em vista disso, pode ser utilizado pelos organismos cultivados como alimento suplementar, reduzindo os gastos com a dieta (García-Ríos *et al.*, 2019).

Um sistema BFT ainda pode ser categorizado em relação à predominância bacteriana presente no mesmo, diante disso podemos destacar duas principais classificações: (i) sistema BFT heterotrófico, com predominância de bactérias heterotróficas, que apresentam alta capacidade de reduzir a amônia do sistema, primeiro componente do ciclo do nitrogênio, que é altamente tóxico para organismos aquáticos de cultivo e transforma-la em biomassa bacteriana e (ii) sistema BFT quimioautotrófico no qual tem a

predominância de dois grupos bacterianos, que são as, AOB (baterias amônia-oxidantes)
 e as NOB (bactérias nitrito-oxidantes).

No primeiro sistema, as bactérias heterotróficas surgem e se proliferam rapidamente devido a adição e manipulação de uma fonte de carbono orgânico como o melaço da cana de açúcar, glicose, farelo de trigo, celulose e o nitrogênio, que serve como energia para realização de seus processos metabólicos, (García-Ríos *et al.*, 2019; Khanjani *et al.*, 2016). Porém este rápido crescimento pode gerar um aumento dos sólidos suspenso totais (SST) (Ferreira *et al.*, 2020), uma vez que a atividade metabólica deste grupo bacteriano produz cerca de 8,07g de biomassa bacteriana e 9,65g de dióxido de carbono ao consumir 4,71g de oxigênio dissolvido, 3,75g de alcalinidade e 15,17g de carboidratos (Ebeling *et al.*, 2006).

Quando os níveis de SST forem superiores a 300 mg L⁻¹, é fundamental a remoção periódica desse conteúdo através de clarificadores, o que acaba gerando um aumento no custo da produção (Gaona *et al.*, 2016); entretanto, se os níveis de SST forem muito baixos podem ocorrer problemas com a nitrificação ou com as taxas de assimilação do nitrogênio (Fleckenstein *et al.*, 2020). Sendo assim, é indicado que os níveis de SST permaneçam entre 100 e 300 mg L⁻¹ para que o sistema apresente funcionamento adequado e os organismos possam atingir seu máximo desenvolvimento (Gaona *et al.*, 2015).

Já no sistema quimioautotrófico, a predominância bacteriana é subdividida em dois grupos, sendo o primeiro grupo responsável por reduzir a amônia para nitrito, constituído pelos gêneros *Nitrosomonas*, *Nitrosococcus*, *Nitrosospira*, *Nitrosolobus* e *Nitrosovibrio*, dentre os quais o gênero *Nitrosomonas* é o mais conhecido, e o segundo grupo bacteriano formado pelos gêneros *Nitrobacter* (gênero mais conhecido), *Nitrococcus*, *Nitrospira* e *Nitrospina*, irão converter o nitrito para nitrato, produto final do processo de nitrificação de menor toxicidade (Ebeling., 2006; Madigan *et al.*, 2016).

Ao contrário das bactérias heterotróficas, o grupo quimioautotrófico apresenta uma taxa de crescimento lento, consome 4,18g de oxigênio dissolvido e 7,0g de alcalinidade para sua manutenção metabólica, ocasionando uma produção de 0,20g de biomassa bacteriana e 5,85g de dióxido de carbono (Ebeling., 2006), 40x menos biomassa que as bactérias heterotróficas, o que reduz o acumulo de SST no sistema. No entanto, o consumo elevado de carbono inorgânico (carbonatos) provoca uma redução do pH e

alcalinidade da água de produção, podendo afetar diretamente o desenvolvimento dos animais exigindo então a correção desses parâmetros quando os níveis não forem adequados para a espécie (Furtado *et al.*, 2014).

Além disto, como a troca de água neste sistema é mínima ou nula, substâncias como nitrato (composto nitrogenado de menor toxicidade) e fosfato (nutriente oriundo da lixiviação da dieta dos organismos produzidos) acumulam-se gradualmente durante os ciclos produtivos (Da Silva *et al.*, 2013). O acúmulo destes elementos residuais e do SST pode provocar problemas como incrustações de brânquias, altas taxas de consumo do oxigênio, infecções bacterianas e o desbalanço nos parâmetros físicos e químicos da água (Schveitzer *et al.*, 2013).

Para minimizar estes problemas, alguns autores (Khanjani *et al.*, 2022; Holanda *et al.*, 2022) têm buscado soluções através da associação da tecnologia BFT e do sistema *Integrated Multitrophic Aquaculture* (IMTA). O sistema IMTA visa o melhor aproveitamento dos resíduos orgânicos e inorgânicos (Chopin, 2015), já que nele são cultivadas espécies de diferentes níveis tróficos em conjunto (Figura 1), com funções complementares no ecossistema, que inclui espécies alimentadas, como peixes e/ou camarões, espécies filtradoras, como moluscos e peixes onívoros, além de consumidores inorgânicos como macroalgas ou microalgas e halófitas (Ekasari *et al.*, 2014; David *et al.*, 2017).

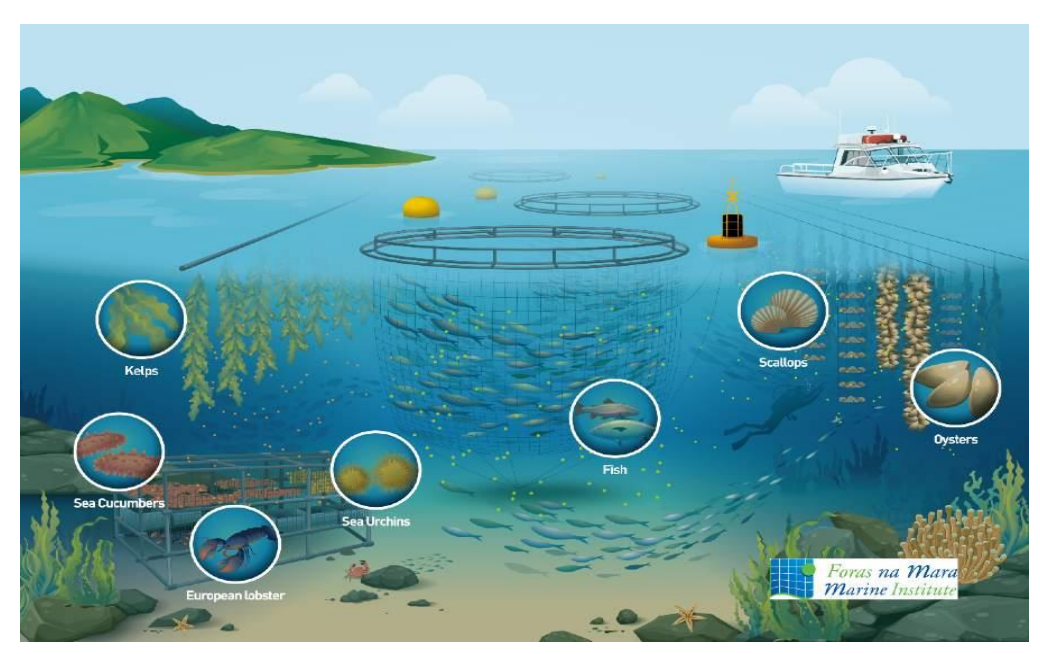


Figura 1: Modelo demonstrativo de um sistema IMTA (Fonte: Pauline O'Donohoe – Marine Institute - Irlanda).

Este sistema propõe uma gestão equilibrada do ecossistema com foco na sustentabilidade da atividade aquícola e maior aceitação social, a diversificação de produtos, além de redução de riscos. É definido como "uma prática em que os subprodutos de uma espécie são reciclados e se tornam insumos para outra espécie", apresentando uma abordagem mais ecológica para a atividade aquícola (Kleitou *et al.*, 2018; Rosa *et al.*, 2019).

No IMTA, as espécies extrativistas orgânicas e inorgânicas desempenham um importante papel, pois reduzem os resíduos gerados pelos peixes e/ou camarões e também os resíduos de nutrientes provenientes da nitrificação que se acumulam durante a produção. Portanto, o que antes era tratado como efluente e um problema ambiental, torna-se matéria prima a ser utilizada para nutrir organismos de níveis tróficos inferiores e, ao mesmo tempo, agregar valor ao cultivo (Chopin, 2015; Poli *et al.*, 2019).

Contudo, para que o sistema funcione, é necessário que a escolha das espécies a serem produzidas seja realizada de forma criteriosa, uma vez que cada espécie irá desempenhar funções importantes e fundamentais para o devido funcionamento do sistema (Reid *et al.*, 2018; Chopin., 2018). Neste contexto, espécies como o *L. vannamei* (Figura 2A) e a tilápia do Nilo (*Oreochromis niloticus*) (Figura 2B) são alternativas a serem consideradas, uma vez que além de apresentarem rusticidade e boa adaptabilidade a diversos tipos de sistemas de produção têm grande aceitação pelo mercado consumidor.





Figura 2: Exemplares de (A) camarão branco do Pacifico *Litopenaeus vannamei* e (B) tilápia do Nilo *Oreochromis niloticus* (Fonte: Andrezza Carvalho).

A produção do *L. vannamei* destaca-se no cenário da aquicultura mundial, ocupando o primeiro lugar com 51,7% da produção dentre as espécies de crustáceos produzidas pela atividade (FAO, 2022). Seu sucesso se deve a características desejáveis para integrar uma produção, visto que pode ser produzido sob variações de temperatura de 23 a 30 °C, salinidade de 25 a 30 ppm e uma ampla exigência proteica na dieta variando de 20 a 40% sem afetar seu rápido crescimento (Gao *et al.*, 2016; Araneda *et al.*, 2020).

Já a tilápia, uma das espécies de peixe mais produzida no Brasil (Roriz *et al.*, 2017), também apresenta grande resistência a variações de temperatura e salinidade (FAO, 2018) e devido a seu hábito alimentar onívoro é capaz de se alimentar dos detritos orgânicos presentes no meio (Ekasari *et al.*, 2015), o que a torna uma alternativa para compor o sistema IMTA + BFT.

Neste contexto, alguns autores têm avaliado o cultivo integrado entre o camarão *L. vannamei* e diversas espécies de peixes, bivalves e macroalgas em sistemas BFT. Holanda *et al.* (2020) e Poli *et al.* (2019) observaram uma redução do SST no sistema ao avaliarem o cultivo integrado do camarão branco do Pacífico (*L. vannamei*) com tainha (*M. liza*) e tilápia do nilo (*O. niloticus*), respectivamente. Em ambos os trabalhos, os autores constataram o consumo dos flocos microbianos pelas espécies de peixe, o que gerou uma redução nos custos, uma vez que o SST normalmente é removido mecanicamente por clarificadores que encarecem a produção (Gaona *et al.*, 2016).

Já Costa et al. (2021), ao analisarem o cultivo integrado da ostra (*Crassostrea gasar*) e do camarão (*L. vannamei*) em sistema BFT notaram uma preferência dos bivalves por um grupo específico de microrganismos flagelados; apesar disso, os autores constataram que não houve redução significativa do SST no sistema, porém afirmam que a espécie pode agregar valor ao cultivo. Tal afirmação abre novas possibilidades de estudos com outras espécies de ostras com caráter econômico, como a vieira (*Pantinopecten yessoensis*) e a *Crassostrea gigas* (Rosa et al., 2020).

Neste sistema também é possível produzir espécies consumidoras inorgânicas - macroalgas e halófitas - que têm como objetivo reduzir os nutrientes (nitrato e fosfato) dissolvidos na água, uma vez que durante o ciclo de cultivo o acúmulo destes compostos é inevitável (Du *et al.*, 2013). Brito *et al.* (2013) avaliaram a produção, em sistema BFT, com a macroalga *Ulva lactuca* de forma integrada com o *L. vannamei* e obtiveram resultados positivos com redução do nitrogênio amoniacal total (NAT), nitrito e fosfato

em 25,9%, 72,8% e 24,6%, respectivamente; ademais, os autores relataram maior ganho de peso total dos camarões.

Resultados semelhantes foram observados por Poli *et al.* (2019) ao analisarem a produção de *Sacocornia ambigua* e *L. vannamei* em sistema IMTA + BF, no qual observaram uma redução significativa do nitrato no sistema devido a presença da halófita. Já Brito *et al.* (2014) observaram que ao incluirem duas espécies de algas marinhas *Gracilaria birdiae* e *G. domingensis* em sistema BFT integrado com *L. vannamei*, expostos ao vírus da sindrome da mancha branca (WSSV), os parâmetros como sobrevivência, peso final, ganho de peso e crescimento semanal dos camarões foram melhores nos tratamentos com a presença das algas; além disso, nos mesmos tratamentos, os autores relataram uma pequena redução do nitrato.

Em trabalho recente, Carvalho *et al.* (2023) também verificaram menores concentrações de compostos nitrogenados no cultivo integrado da macroalga *U. lactuca* e *L. vannamei* em sistema BFT. Os mesmos autores relataram que nos tratamentos com a presença da macroalga houve redução de SST, reduzindo o tempo necessário para o processo de clarificação. No entanto, tais resultados foram devido a maior deposição das partículas sobre a *U. lactuca*, resultando em redução da biomassa final deste organismo, uma vez que esta deposição de sólidos pode se caracterizar como fator estressante ao impedir a absorção de luz e a realização da fotossíntese.

Além da utilização de organismos consumidores de floco, como por exemplo a tilápia (Oliveira *et al.*, 2021), uma alternativa para o controle dos sólidos seria a realização da produção em sistema BFT quimioautotrófico, que apresenta menor carga organica, devido a lenta proliferação da comunidade bacteriana. Tal problema demostra a necessidade do desenvolvimento de sistemas BFT com reduzidas quantidades de SST, principal proposta do biofloco quimioautotrófico.

Devido a combinação dos sistemas (IMTA + BFT) ser algo relativamente novo, o custo de implementação e o pouco conhecimento complexo entre as interações das expécies pode ser um entrave para o inicio de uma produção de tamanho comercial, porém a associação de ambos os sistemas pode proporcionar inúmeras vantagens para a atividade aquícola, uma vez que o IMTA agiria como "biorremediador" minimizando os principais problemas do BFT convencional como o acúmulo de SST, nitrato e fosfato, além de gerar uma biomassa alternativa na produção, tornando o sistema mais seguro e lucrativo

(Gamito et al., 2020). Ainda, a combinação entre tais sistemas de produção com as diferentes predomionâncias bacterianas (heterotrófica e quimioautotrófica) do sistema BFT pode fornecer resultados positivos em relação a redução de efluentes (Khanjani et al., 2022). Logo, o objetivo do presente estudo foi avaliar a produção do camarão (L. vannamei) e tilápia (O. niloticus), produzidos em sistemas IMTA com tecnologia BFT com diferentes fertilizações na formação do biofloco, quimioautotrófico e heterotrófico, além da possível redução dos efluentes gerados.

2 Objetivos

436

437 2.1 **Objetivo Geral** 438 Avaliar a produção do camarão (L. vannamei) e da tilápia do Nilo (O. niloticus) 439 em cultivo multitrófico integrado (IMTA) com sistema de bioflocos (BFT) dominados 440 por bactérias quimioautotróficas e heterotróficas. 441 442 2.2 **Objetivos Específicos** 443 - Avaliar a eficiência do uso de sais de cloreto de amônia e nitrito de sódio para formação 444 do sistema de bioflocos dominados por bactérias quimioautotróficas; 445 - Avaliar a eficiência da adição de carbono orgânico (melaço de cana de açucar) para a formação do sistema de bioflocos predominantemente heterotrófico. 446 447 - Determinar os parâmetros de qualidade da água da produção integrada de camarão e 448 tilápia em sistema BFT com duas abordagens (quimioautotrófica e heterotrófica); 449 - Avaliar o desempenho zootécnico do camarão e da tilápia, produzidos de forma 450 integrada em sistema BFT com duas abordagens (quimioautotrófica e heterotrófica); 451

3 Material e Metódos

453 **3.1** Ética animal

- O protocolo experimental para o desenvolvimento deste trabalho foi submetido e aprovado pelo Comitê de Ética no Uso de Animais (CEUA) da Universidade Federal do
- 456 Rio Grande FURG; protocolo nº 23116.005895/2016-42.

457

458

452

3.2 Local

O experimento foi conduzido na Estação Marinha de Aquacultura (EMA), Instituto de Oceanografia da Universidade Federal do Rio Grande – FURG.

461

462

3.3 Procedência dos animais e aclimatação

463 As pós-larvas de camarão (L. vannamei) foram adquiridas de um laboratório comercial (Aquatec®, Canguaretama, Rio Grande do Norte, Brasil) e transportadas até a 464 465 EMA, onde foram mantidas em um tanque raceway em estufa agrícola com BFT até o início do experimento. Os alevinos de tilápia (O. nilóticus) foram obtidos de uma 466 467 piscicultura comercial (Camaquã, Rio grande do Sul) e mantidos em uma estufa em dois tanques de 4 m³ de volume útil com água clara e aeração constante. Previamente ao início 468 469 do experimento, durante 10 dias, os alevinos foram aclimatados para a salinidade de 20 470 ppm. Para isso, 10% da água doce era substituída por água do mar a cada dois dias.

471

472

473

474

475

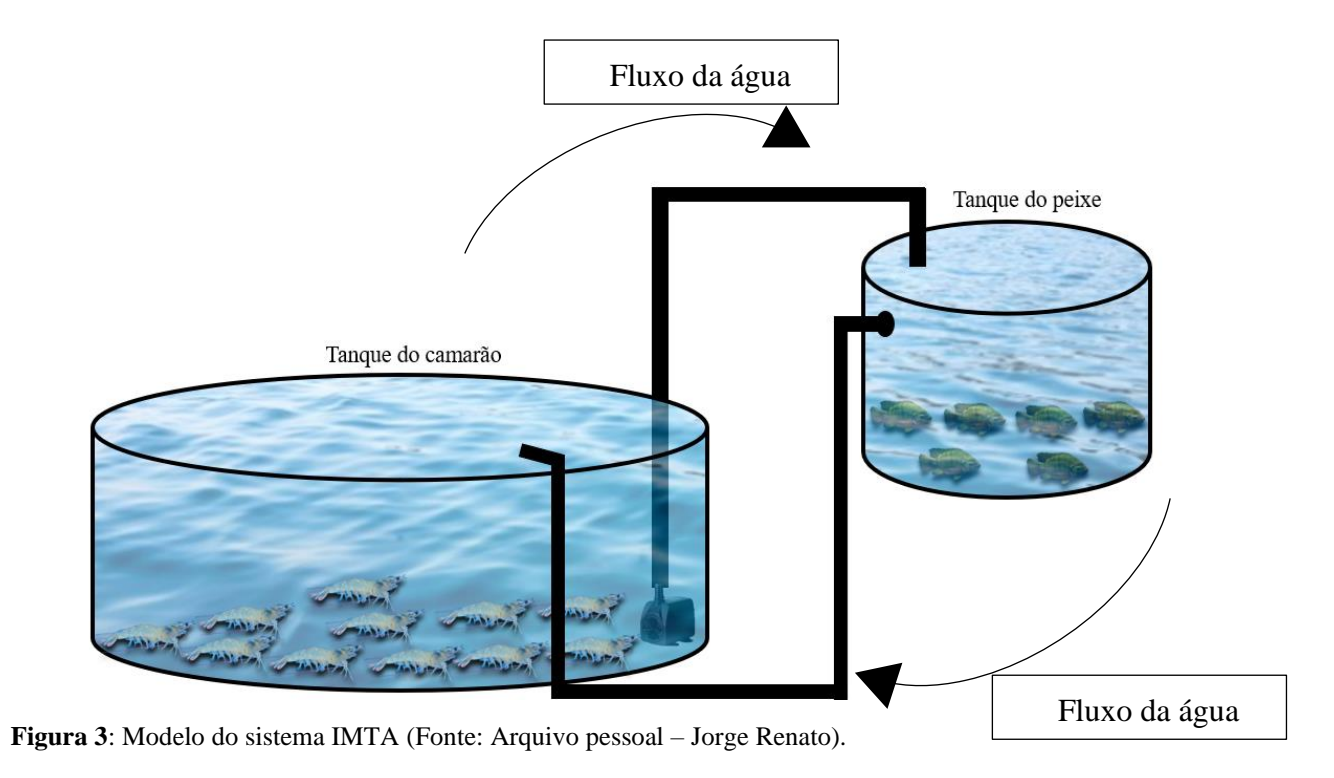
476

477

478

3.4 Sistemas de cultivo e delineamento experimental

- O experimento teve duração de 86 dias após a estocagem dos animais e foi conduzido em estufa agrícola. Cada sistema de produção era composto por um tanque de $20m^2$ de área e 16m3 de volume útil, onde foram estocados 400 camarões/m² (8.000 camarões) e um tanque de $4m^3$ de volume útil, no qual foram estocados 45 alevinos de tilápia/m³ (180 peixes). Todos os tanques apresentavam aeração constante individual por mangueiras de difusão (Aero Tube®) acopladas a um soprador de ar de 4 HP.
- A água dos tanques era recirculada com o auxílio de uma bomba submersa BOYU (4.000 L/h), instalada no tanque dos camarões que bombeava para o tanque das tilápias, e, por gravidade, retornava para o tanque dos camarões (Figura 3). Todos os tratamentos foram expostos a um fotoperíodo natural.



O experimento teve dois tratamentos: TQ (tratamento quimioautotrófico) e TH (tratamento heterotrófico) com três repetições cada. Para o desenvolvimento do sistema quimioautotrófico, três tanques de 16m³ de volume útil ao acaso foram selecionados e fertilizados individualmente e diariamente durante 47 dias antes do início do experimento com 1,0 mg L¹ de cloreto de amônio (NH4Cl) e 1,0 mg L¹ de nitrito de sódio (NaNO2) sem exposição a luz, para estimular o crescimento das bactérias nitrificantes conforme descrito por Ferreira *et al.*, (2020). Outros três tanques que compunham o sistema heterotrófico, após a estocagem dos animais a concentração de nitrogênio amoniacal total (NAT) foi monitorado diariamente até que atingisse 1,0 mg L¹. A partir deste momento foi adicionado melaço de cana de açúcar, na relação 15C:1N, até as concentrações de NAT estabilizarem (Avnimelech, 1999; Ebeling *et al.*, 2006).

3.5 Manejo Alimentar

Os animais foram alimentados duas vezes ao dia (8:00 e 16:00 horas) com ração comercial específica para a espécie e tamanho. Para os camarões a ração utilizada foi Guabi Active 40, 1.6mm, (40% de proteína bruta) e para as tilápias Guabi Mirim 2mm (36% de protina bruta). A taxa de arraçoamento dos camarões foi acompanhada através da metodologia de Jory *et al.* (2001), enquanto as tilápias foram subalimentadas com 1% da biomassa do tanque durante todo o período experimental para estimular o consumo dos bioflocos, igual proposto por (Holanda *et al.*, 2022).

3.6 Qualidade da Água

O oxigênio dissolvido, temperatura foram verificados duas vezes ao dia com o auxílio de um oxímetro digital (YSI modelo Pro-20, EUA), sempre antes do arraçoamento dos animais, pH (pHmetro de bancada – Mettler Toledo, FEP20, Brasil) foi analisado uma vez ao dia no período da manhã, sempre antes da primeira dieta fornecida aos animais. A salinidade foi mensurada uma vez na semana com um multiparâmetro (HANNA HI9829) e foi mantida entre 18 e 20. Para controlar a salinidade era feito a adição de água doce no sistema para corrigir a perca por evaporação. As amostras de água para todas as analises sempre foram coletadas do tanque dos camarões.

O nitrogênio amoniacal total e nitrito foram analisados diariamente (UNESCO, 1983; Bendschneider & Robinson, 1952) em ambos os tratamentos até a sua redução e surgimento de nitrato no sistema, indicando que a nitrificação estava ocorrendo. Após o surgimento de nitrato essas análises passaram a ser feitas duas vezes na semana.

Duas vezes por semana, foram medidas as concentrações de nitrato, ortofosfato (Amionot & Chaussepied, 1983) e alcalinidade (APHA, 1989). O pH e a alcalinidade eram corrigidas com a aplicação de hidróxido de cálcio [Ca (OH)₂] quando os valores estavam menores que 7,5 e 150 mg L⁻¹, respectivamente (Furtado *et al.*, 2014).

Os sólidos suspensos totais (SST – Strickland & Parsons, 1972) e os sólidos sedimentáveis (SS) através do cone *imhoff* (Eaton 1995), também foram analisados duas vezes na semana. Para o controle e redução dos SST, foram utilizados clarificadores cônicos de fibra de vidro de (250 L) sempre que os SST chegassem em 350 mg L⁻¹, sendo os clarificadores ligados de acordo com a necessidade.

Para o favorecimento de bactérias não patógenas foi feito a adição de probiótico para peixes e crustáceos duas vezes na semana (dose recomentada pelo produto), favorecendo o desenvolvimento de grupos bacterianos não patógenos aos animais.

3.7 Desempenho de Crescimento

Para determinação do desempenho de crescimento foram realizadas biometrias semanais e quinzenais, para os camarões (50 ind/tanque) e peixes (10 ind/tanque), respectivamente. Para isso, os animais eram retirados dos tanques com o auxílio de um puçá, os camarões eram acondicionados em um balde de 50 L contendo água do tanque e levados para a sala de pesagem e pesados individualmente.

- Os peixes também foram capturados com puçá, acondicionados em um balde de 50L
- contendo água do tanque e levados para a sala de pesagem, na sala de pesagem os animais
- 540 foram anestesiados com 50 mg L⁻¹ com cloridrato de benzocaína (Braz et al., 2017) a
- 541 pesagem era dividual, feito isso os animais eram transferidos para um balde de
- recuperação e posterioemente também devolvidos para o respectivo tanque.
- Para a pesagem dos animais foi utilizada uma balança digital com precisão de 0,01g
- 544 (Marte Cientifica, AD 2000, Brasil). Os seguintes cálculos foram realizados para o
- desempenho de crescimento:
- Peso médio final (g) = \sum peso final dos animais vivos (g) / nº total de animais;
- Ganho de peso semanal (g semana $^{-1}$) = ganho de peso (g) / n^{0} de semanas;
- Taxa de conversão alimentar aparente (FCA, g) = ração ofertada (g) / (biomassa final
- 549 (g) biomassa inicial (g));
- Sobrevivência (%) = $(n^{\circ} \text{ final de animais } / n^{\circ} \text{ inicial de animais}) \times 100;$
- Ganho de biomassa (GB, g) = \sum peso final de todos os animais vivos (g);
- Produtividade (P, Kg.m⁻³) = [(biomassa final (Kg) biomassa inicial (Kg)) \times 1000]
- / volume útil do tanque (L);

554

555

562

563

3.8 Análise Estatística

- Todos os resultados foram expressos como média ± desvio padrão. A homogeneidade
- das variâncias e a normalidade dos dados foram previamente testadas pelos testes de
- Levene e Shapiro-Wilk, respectivamente, quando não mostravam homogeneidade e
- 559 normalidade esses dados eram transformados. Uma vez que os pressupostos foram
- atendidos, os dados foram submetidos ao teste t de Student. As análises foram realizadas
- com um nível mínimo de significância de 5% ou p<0,05 (Zar, 2010).

4 Resultados

4.1 Qualidade da Água

- Os parâmetros de qualidade da água oxigênio dissolvido (OD), pH e NAT foram
- significativamente maiores (p<0,05) no tratamento TH em relação ao tratamento TQ. Os
- demais parâmetros como temperatura, alcalinidade, salinidade, SST e SS não diferiram
- entre os tratamentos durante o período experimental (Tabela 1).

Tabela 1: Parâmetros de qualidade da água nos tratamentos TQ (quimioautotrófico) e TH
 (heterotrófico) ao longo de 86 dias experimentais.

Tratamento	TQ	TH
Temperatura (°C)	$27,39 \pm 1,97$	$27,27 \pm 2,31$
	(32,40 - 21,00)	(32,80 - 20,30)
$OD (mg L^{-1})$	$5,\!57 \pm 0,\!49$	$5,\!76 \pm 0,\!49$
	(7,07-3,92)	(7,71-4,15)
pH	$7,\!79\pm0,\!09^{\mathrm{b}}$	$7,83 \pm 0,13^{a}$
	(8,13-7,20)	(8,27-6,67)
Alcalinidade (mg CaCO ₃ L ⁻¹)	$169,5 \pm 18,8$	$162,2 \pm 18,5$
	(230 - 120)	(205 - 95)
Salinidade	$20,\!99 \pm 0,\!79$	$24,65 \pm 1,03$
	(25,44-16,35)	(28,50-21,41)
NAT (mg L ⁻¹)	$0,\!76\pm1,\!18^b$	$1,\!78\pm2,\!37^{\rm a}$
	(5,70-0,02)	(9,30-0,02)
NO_2 -N (mg L ⁻¹)	$3,04 \pm 3,09$	$7,\!88\pm7,\!50$
	(15,00-0,14)	(22,00-0,02)
NO_3 -N (mg L ⁻¹)	$77,3 \pm 48,53$	$47,18 \pm 42,45$
	(175,85-13,10)	(154,70-0)
$PO_4 - P (mg L^{-1})$	$3,46 \pm 2,53$	$2,58 \pm 2,07$
	(16,00-0,02)	(9,00-0,01)
SST (mg L ⁻¹)	$313,11 \pm 84,52$	$281,29 \pm 81,23$
	(535 - 113)	(530 - 107)
SS	$11,91 \pm 7,92$	$10,19 \pm 6,84$
	(35 - 0.80)	(40 - 0.50)

Os dados são expressos como média ± desvio padrão, valores máximos e minimos. Letras diferentes na mesma linha indicam diferenças significativas (p<0,05) entre os tratamentos após teste t de Student. Abreviações: OD, oxigênio dissolvido; NAT, nitrogênio amoniacal total; SST, sólidos suspensos totais; SS, sólidos sedimentáveis.

Porém, os demais parâmetros apresentaram diferença significativa (p<0,05) entre os tratamentos em determinados períodos durante o ciclo produtivo. A amônia total foi

significativamente maior entre o 6° e 12° dias experimentais no tratamento TH, já no 13° este parâmetro foi significativamente maior (p<0,05) no tratamento TQ (Figura 4).

O nitrito foi significativamente maior (p<0,05) no tratamento TQ do 0 ao 6º dia, após isto, não apresentou diferença entre os tratamentos até o 23º dia experimental, no qual o tratamento TH passou a apresentar valores significativamente maiores (p<0,05) até o 44º dia (Figura 5).

O tratamento TQ apresentou valores significativamente maiores (p<0,05) de nitrato em relação ao tratamento TH no 3º dia, 19º ao 68º e 75º ao 86º (Figura 6); bem como fosfato do 26º ao 30º, 37º ao 40º, 51º, 58º ao 61º, 75º ao 79º e 86º dias (Figura 7).

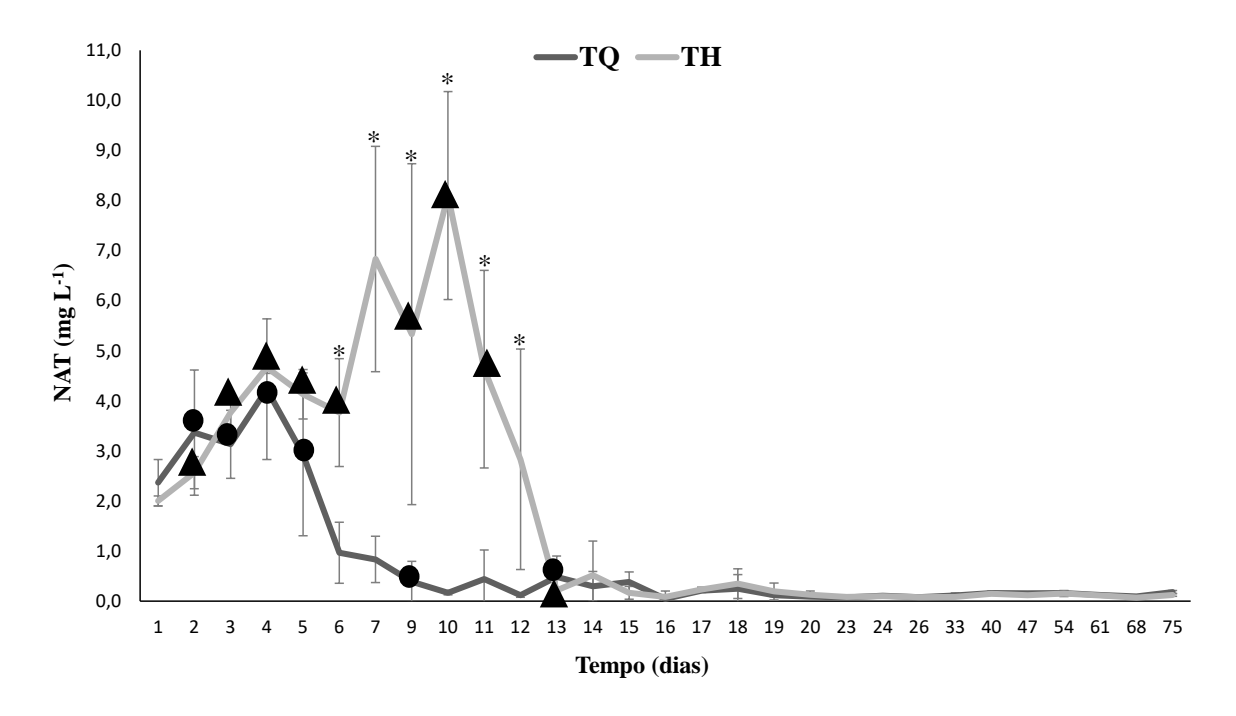


Figura 4: Níveis médios de nitrogênio amoniacal total nos tratamentos quimioautotrófico (TQ) e heterotrófico (TH) ao longo do período experimental. (*) indica diferença significativa entre os tratamentos no mesmo dia, após teste t de Student. ☐ Indica aplicação de melaço no tratamento quimioautotrófico, ☐ indica aplicação de melaço no tratamento heterotrófico, (NAT = nitrogenio amoniacal total).

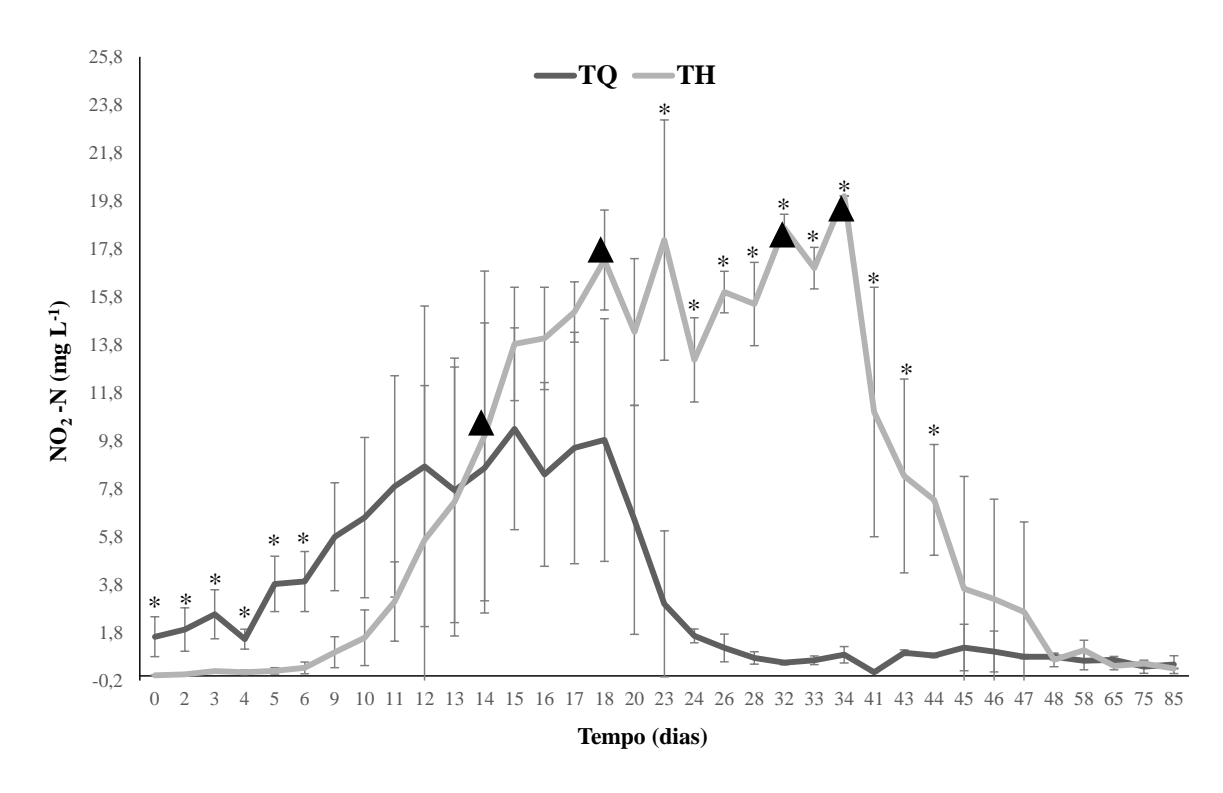


Figura 5: Níveis médios de nitrito nos tratamentos quimioautotrófico (TQ) e heterotrófico (TH) ao longo do período experimental. (*) indica diferença significativa entre os tratamentos no mesmo dia, após o teste t de Student. ▲ Indica as renovações de água no tratamento heterotrófico.

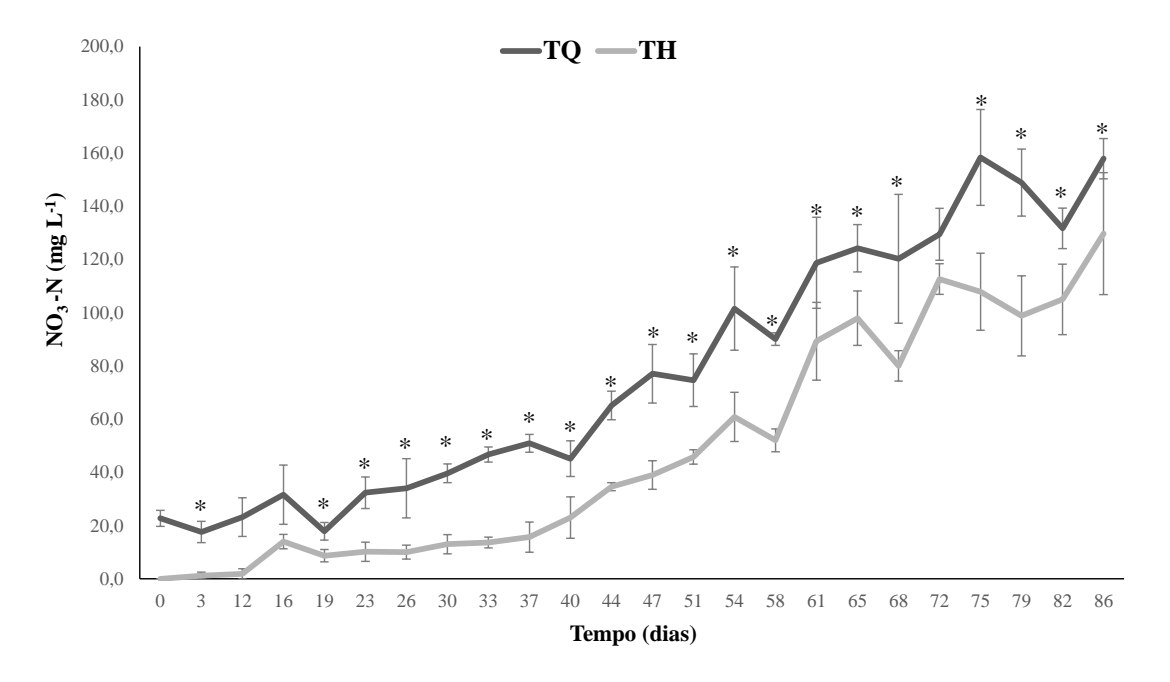


Figura 6: Níveis médios de nitrato nos tratamentos quimioautotrófico (TQ) e heterotrófico (TH) ao longo do período experimental. (*) indica diferença significativa entre os tratamentos no mesmo dia, após o teste t de Student.

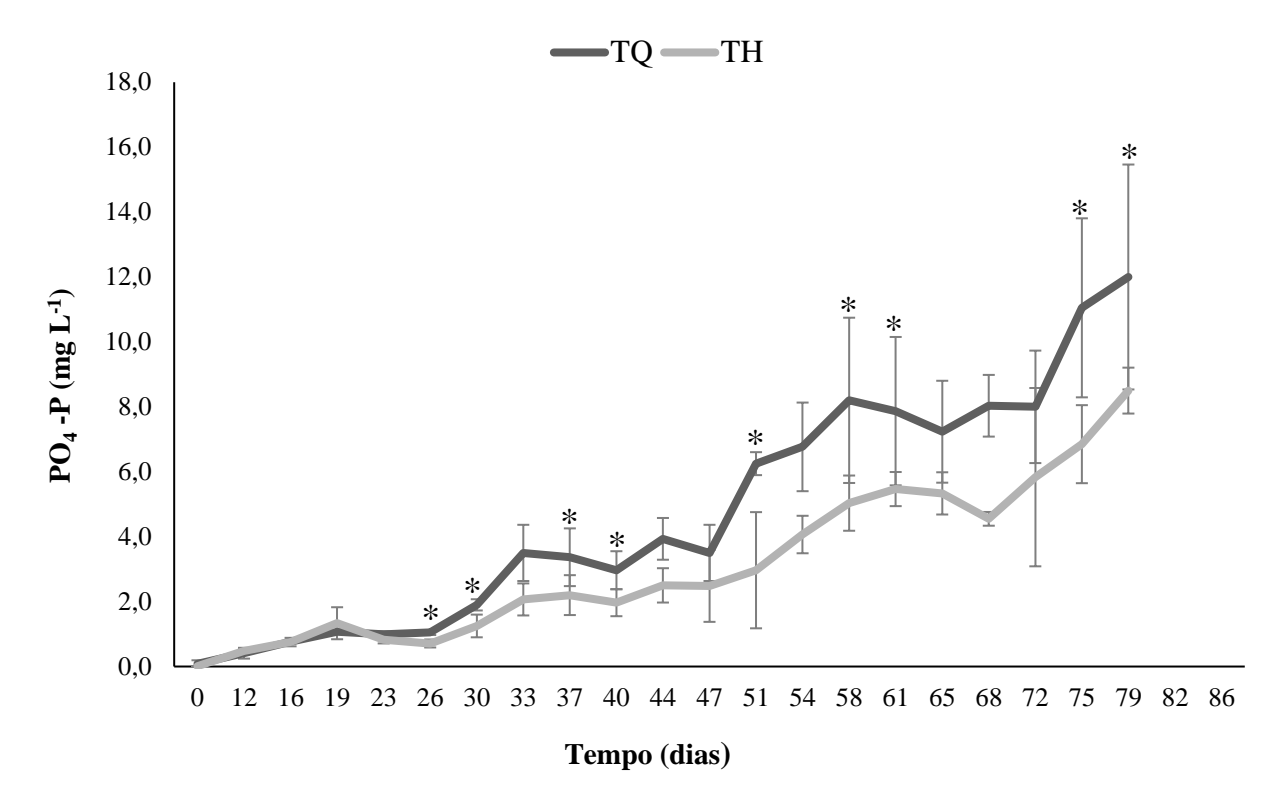


Figura 7: Níveis médios de fosfato nos tratamentos quimioautotrófico (TQ) e heterotrófico (TH) ao longo do período experimental. (*) indica diferença significativa entre os tratamentos no mesmo dia, após o teste t de Student.

O SST foi significativamente maior (p<0,05) no tratamento TH no 13° e 17° dia, já nos dias 24° e 31° os valores foram significativamente maiores (p<0,05) no tratamento TQ (Figura 8).

Os valores de SS foram significativamente maiores (p< 0,05) no tratamento TH no 16°, 76° e 80° dia, e apenas no 24° dia o tratamento TQ apresentou valores significativamente maiores (p< 0,05) de SS em relação ao tratamento TH.

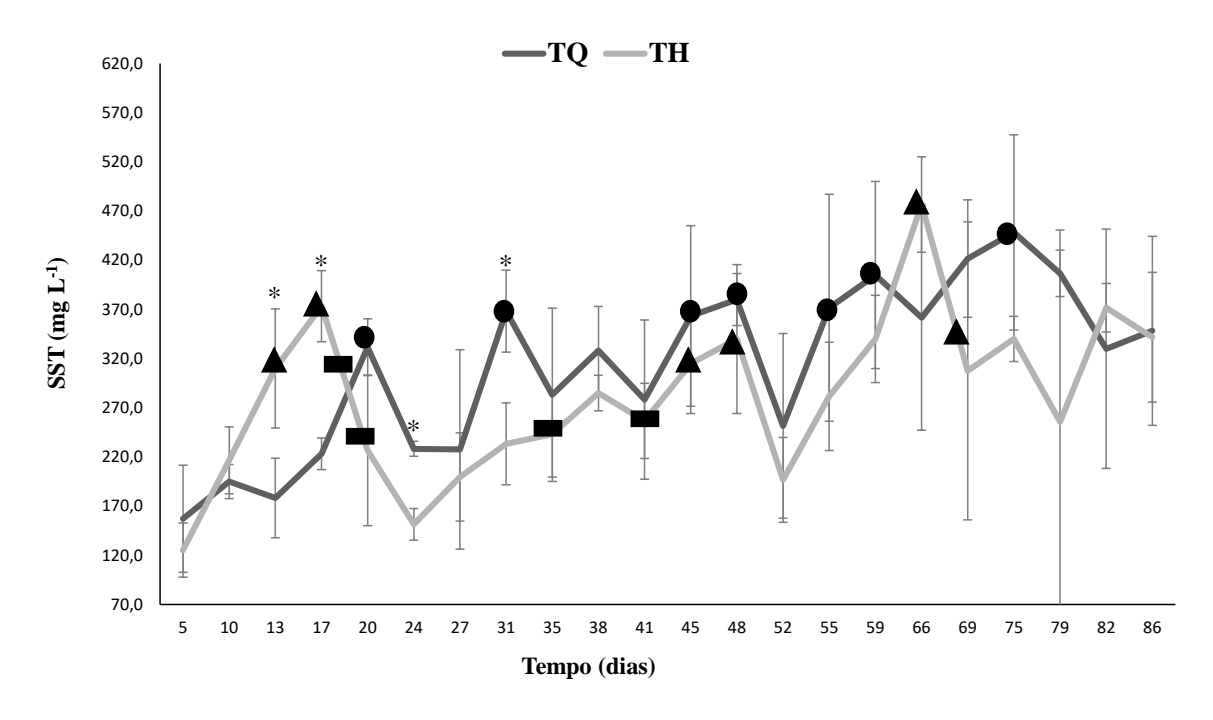


Figura 8: Níveis médios de sólidos suspensos totais (SST) nos tratamentos quimioautotrófico (TQ) e heterotrófico (TH) ao longo do período experimental. (*) indica diferença significativa entre os tatamentos no mesmo dia, após o teste t de Student. ● Indica os dias de clarificação no sistema quimioautotrófico, indica os dias de clarificação no sistema heterotrófico, indica os dias de renovação de água no tratamento hetetrófico.

4.2 Insumos

O consumo de ração foi significativamente maior (p<0,05) no tratamento TQ em relação ao TH. Já a utilização de melaço foi significativamente maior (p<0,05) no tratamento TH em relação ao TQ. Não houve diferença significativa (p > 0,05) entre os tratamentos para o hidróxido de calcio (Tabela 2).

Tabela 2: Relação das quantidades de insumos utilizados nos tratamentos TQ (quimioautotrófico) e TH (heterotrófico) ao longo de 86 dias experimentais.

Tratamento	TQ	TH
Ração camarão (kg)	$407,52 \pm 1,84^{a}$	$284,78 \pm 1,42^{b}$
Ração tilápia (kg)	$89,28 \pm 1,21$	$89,\!28 \pm 1,\!21$
Hidróxido de cálcio (kg)	$8,\!25\pm1,\!98$	$9,53 \pm 0,32$
Melaço (kg)	$5,15 \pm 4,33^{b}$	$13,26 \pm 1,82^{a}$
Cloreto de amônia (kg)	$2,82 \pm 0,1^{\#}$	-
Nitrito de sódio (kg)	$2,82 \pm 0,1^{\#}$	-
Uso total de água (m³)	$60 \pm 1,\!00^{\rm b}$	$132 \pm 1,00^{a}$
Uso de água (L) por kg de camarão	$243,78 \pm 5,55^{b}$	$783,24 \pm 4,58^{a}$

Os dados são expressos como média \pm desvio padrão. Letras diferentes na mesma linha indicam diferenças significativas (p<0.05) entre os tratamentos, após o teste t de Studen, # indica os sais utilizados previamente apenas no tratamento aquimioautotrófico (TQ).

4.3 Desempenho de crescimento

Os índices de desempenho (peso médio final, taxa de crescimento específico, biomassa final e produtividade) dos camarões foram significativamente melhores (p<0,05) no tratamento TQ em relação ao tratamento TH, com exceção da taxa de conversção alimentar, a qual não apresentou diferença significativa (p>0,05) entre os tratamentos. Para as tilápias não houve diferença significativa (p>0,05) entre os tratamentos em nenhum índice de desempenho de crescimento. Não houve diferença significativa (p>0,05) entre tratamentos na sobrevivência de ambas as espécies estudadas (Tabela 3).

Tabela 3: Resultados de desempenho de cresciemento e sobrevivência do camarão (*L. vannamei*) e tilápia (*O. niloticus*) produzidos em sistema multitrófico e bioflocos quimioautotrófico e heterotrófico por 86 dias.

Camarão	ΤQ	TH
Peso médio inicial (g)	$1,00 \pm 0,04$	$1,00 \pm 0,04$
Peso médio final (g)	$11,30 \pm 0,36^{a}$	$8,25 \pm 0,34^{b}$
Ganho de peso semanal (g semana-1)	0.81 ± 0.03^{a}	$0,57 \pm 0,03^{b}$
Taxa de conversão alimentar (FCA)	$1,86 \pm 0,12$	$1,\!98 \pm 0,\!19$
Sobrevivência (%)	$90,34 \pm 5,38$	$85,08 \pm 5,97$
Biomassa final (kg)	$73,\!26 \pm 5,\!55^{\mathrm{a}}$	$48,\!18\pm4,\!58^b$
Produtividade (kg m ⁻²)	$4,06 \pm 0,28^{a}$	$2,81 \pm 0,23^{b}$
Tilápia	TQ	TH
Паріа	IQ	111
Peso médio inicial (g)	$25,00 \pm 0,50$	$25,00 \pm 0,50$
		_
Peso médio inicial (g)	25,00 ± 0,50	25,00 ± 0,50
Peso médio inicial (g) Peso médio final (g)	$25,00 \pm 0,50$ $171,62 \pm 17,81$	$25,00 \pm 0,50$ $180,25 \pm 9,23$
Peso médio inicial (g) Peso médio final (g) Ganho de peso semanal (g semana-1)	$25,00 \pm 0,50$ $171,62 \pm 17,81$ $11,53 \pm 1,40$	$25,00 \pm 0,50$ $180,25 \pm 9,23$ $12,25 \pm 0,73$
Peso médio inicial (g) Peso médio final (g) Ganho de peso semanal (g semana ⁻¹) Taxa de conversão alimentar (FCA)	$25,00 \pm 0,50$ $171,62 \pm 17,81$ $11,53 \pm 1,40$ $0,91 \pm 0,35$	$25,00 \pm 0,50$ $180,25 \pm 9,23$ $12,25 \pm 0,73$ $0,75 \pm 0,10$

Os dados são expressos como média \pm desvio padrão. Letras diferentes na mesma linha indicam diferenças significativas (p< 0,05) entre os tratamentos, após o teste t de Student.

5 Discussão

Diferentes estratégias para a preparação da água no sistema de bioflocos (BFT) podem causar impactos significativos tanto nos parâmetros de qualidade da água como no desempenho dos animais cultivados. Neste trabalho, apesar da diferença significativa do oxigênio dissolvido entre os tratamentos o mesmo ainda esta na faixa de conforto para ambas espécies e essa diferença provavelmente esta relacionada com a biomassa final presente no tratamento quimioautotrófico, que consequentemente, consumiram mais oxigênio da água (Mcintosh *et al.*, 2001).

Também foi verificada uma diferença no pH entre os tratamentos no qual o tratamento quimioautotrófico apresentou o menor valor. Segundo Furtado *et al.* (2011) os níveis do pH diminuem durante a produção em sistemas BFT, uma vez que a respiração dos animais cultivados e da biomassa bacteriana tem interferência direta nesse parametro. Outro fator que age sobre esse parâmetro é o consumo dos compostos alcalinizantes como carbonos inorgânicos por bactérias nitrificantes predominantemente presentes no tratamento quimiautotrófico, gerando a acidificação da água e redução do pH, por esses motivos é necessário o uso de produtos para manter os níveis de alcalinidade e pH adequandos para os organismos cultivados (Furtado *et al.*, 2011). Portanto, a maior quantidade de hidróxido de cálcio utilizado no tratamento quimiautotrófico se deve a maior necessidade de correção e manutenção da alcalinidade.

No tratamento heterotrófico o valor de pH foi maior, provavelmente devido a renovação de água e consequentemente a remoção de CO₂, minimizando a acidificação da água. Assim como o maior uso de melaço nesse tratamento pode ter cooperado positivamente para esse parâmetro, pois o melaço apresenta em sua composição bicarbonato de cálcio, que quando liberados no meio se tornam alcalinizantes (Espírito Santo *et al.*, 2016). Devido esse tratamento ser colonizado por bactérias predominantemente heterotróficas, não havia um consumo acelerado de carbono inorgânico da água e provavelmente por isso o uso de hidróxido de cálcio foi menor.

A concentração de amônia total nos sistemas de produção é influenciada por alguns fatores como: alta densidade de estocagem, excreção, quantidade de ração fornecida e matéria orgânica em decomposição (Steward *et al.*, 2006). No sistema heterotrófico, a estocagem inicial dos animais foi realizada em água clara, portanto não havia bactérias no meio capazes de ciclar esse composto, ocasionando picos de amônia. E, apesar de ser

altamente tóxica para os organismos aquáticos, esse composto é controlado no sistema BFT ao adicionar uma fonte de carbono orgânico como forma de favorecer o crescimento de bactérias heterotróficas no meio (Avnimelech e Kochba., 2009). A aplicação de melaço foi maior no tratamento heterotrófico pois nesse sistema não ocorreu uma fertilização prévia para estimular o desenvolvimento de bactérias capazes de remover a amônia, o que acarretou concentrações máximas de 8 mg L⁻¹ de amônia total.

No sistema quimioautotrófico, a fertilização com cloreto de amônia e nitrito de sódio previamente a estocagem dos animais, promoveu o crescimento de ambos os grupos de bactérias, amonio-oxidantes e nitrito-oxidantes, capazes de ciclar estes compostos no sistema. O mesmo foi observado por Ferreira *et al.* (2020) ao analisarem a influência de três diferentes estratégias de preparação de água no berçário de *L. vannamei*: heterotrófico, maduro e quimioautotrófico. No entanto, apesar da pré colonização dessas bactérias no sistema quimioautotrófico, quando houve a estocagem dos camarões e das tilápias, esse tratamento sofreu com picos de amônia que chegaram a 5 mg L⁻¹, devido a quantidade de amônia produzida ser superior a capacidade que as bactérias préestabelecidas tinham de remover esse composto, sendo feito o uso de melaço para controlá-lo, porém em uma quantidade menor comparado ao sistema heterotrófico.

Durante o experimento, ambos os tratamentos apresentaram picos de nitrito, no entanto tal acontecimento foi mais elevado chegando ao máximo de 18 mg L⁻¹ e durou 32 dias para retornar aos níveis aceitáveis no sistema heterotrófico. Ferreita *et al.* (2020) ao iniciarem um sistema heterotrófico realizaram uma fertilização orgânica com ração e melaço 3 dias antes da estocagem dos animais, com uma relação de (C:N) de 15:1, e encontraram valores máximos de nitrito de 4.23 mg L⁻¹, esse valor foi inferior ao encontrados no presente estudo, provavelmente isso se deve por ser um monocultivo de camarão, diferente do presente experimento utilizando um sistema integrado com a produção em uma escala piloto de camarão e tilapia que gerou mais excretas e entrada de ração. O uso de calculos mais precisos para fertilizações iniciais com melaço, levando em consideração o aporte de ração e excreta dos animais, como realizado por Brandão *et al.* (2021) podem vir a ser mais efetivo no controle do nitrito no iinício da estocagem.

Já no sistema quimioautotrófico o pico de nitrito chegou em até 11 mg L⁻¹ e durou 22 dias, a fertilização com cloreto de amônia e nitrito de sódio durante 47 dias antes da estocagem dos animais favoreceu a colonização de bactérias nitrificantes que foram

capazes de remover esse composto do sistema em um período menor e a indicação desse fato é devido ao surgimento de nitrato no sistema, caracterizando que o ciclo do nitrogênio está sendo feito. As altas concentrações de nitrito encontradas no tratamento quimioautotrófico pode estar relacionada a falta de substrato nos tanques. As bactérias nitrificantes possuem características de aderência para se proliferar, portanto o uso de substratos aumenta a área de contato no sistema e facilita a colonização desse grupo, acelerando sua proliferação e evitando picos de compostos tóxicos no meio do cultivo por muito tempo (Morais *et al.*, 2019; Ferreira *et al.*, 2015).

Apesar de estudos anteriores relatarem que o L. vannamei apresenta certa tolerância a concentrações relativamente altas de nitrito (26,4 – 29,0 mg NO₂-N/L) em salinidades de 15, 25 e 35 (Lin e Chen, 2003; Handy et al., 2004; Cohen et al., 2005), os resultados obtidos sugerem haver uma influencia negativa entre níveis de nitrito e desempenho do camarão, uma vez que no presente estudo a salinidade foi 20 e no tratamento heterotrófico os índices zootécnicos dos camarões foram significativamente menores do que os animais do tratamento quimioautotrófico. Resultados corroborados por Vinatea et al. (2010), que observaram que os camarões L. vannamei apresentaram taxa de crescimento reduzida quando expostos a concentrações entre 0,72 e 9,49 mg NO₂-N/L em um sistema superintensivo em raceway sem troca de água. Além disso, para tentar controlar os picos de nitrito, foi realizado renovações de 30% da água do sistema heterotrófico, juntamente com redução de 30% da dieta dos camarões durante todo o período que o nitrito estava elevado (30 dias), fator que também acabou afetando o desempenho de crescimento dos animais, enfatizando ainda mais a utilização de um sistema colonizado previamente com bactérias capazes de ciclar os compostos nitrogenados tóxicos evitando esse tipo de manejo para a produção.

O nitrato e o fosfato são dois elementos que se acumulam em sistemas fechados sem renovação de água como por exemplo o sistema BFT (Buford & Williams., 2001). Entretanto a concentração desse composto pode ser afetada através do tipo de fertilização escolhida. O nitrato é o produto final do precesso de nitrificação que ocorre com a redução da amônia para nitrito e do nitrito para nitrato através de bactérias nitrificantes e dentre estes três compostos, o nitrato é o de menor toxicidade para os organismos (Buford & Williams., 2001). O alto valor de nitrato no tratamento quimioautotrófico pode ser explicado pelo fato da fertilização com sais de cloreto de amônia e nitrito de sódio, que

provavelmente favoreceu o crescimento de bactérias nitricantes, capazes de completar o ciclo do nitrogênio, reduzindo a amônia presente em nitrato. Já as altas concentrações de nitrato encontradas no tratamento heterotrófico diferem das concentrações apresentadas em (Ferreira *et al.*, 2020; Brandão *et al.*, 2021). Esse resultado pode estar relacionado com o tipo de fertilização realizada no mesmo, que acabou disponibilizando nitrogênio suficiente para que bactérias nitrificantes pudessem se estabelecer com o passar do tempo e pudessem reduzir essa amônia disponível até nitrato.

Os valores de fosfato presente em ambos os tratamentos podem ser explicados pela densidade de estocagem, lixiviação da ração, fezes, assim como o período prolongado em de produção em sistemas sem renovação de água, característica dos sistemas BFT (Silva et al., 2013). As concentrações inferiores de fosfato encontradas no tratamento heterotrófico se devem provavelmente à renovação de água e o menor aporte de ração. O uso de consumidores inorganicos em sistemas integrados podem vir a ser uma solução para o acúmulo de nutrientes em sistemas de bioflocos, como já mostrado por Poli et al. (2019) e Carvalho et al. (2023).

Uma das vantagens do sistema BFT quimioautotrófico é a menor produção de sólidos suspensos totais, dado que as bactérias predominantes neste sistema consomem cerca de 1g de amônia e produzem 0,20g de SST; em contrapartida, as bactérias heterotróficas ao consumir a mesma quantidade de amônia produzem cerca de 8,07g de sólidos suspensos totais (Ebeling *et al.*, 2006). No entanto, não foi visto neste trabalho diferença na concentração de sólidos suspensos totais entre os tratamentos. Isso se deve provavelmente ao uso de clarificadores para manter esse parâmetro em níveis aceitáveis na produção de 350 mg L⁻¹ e também devido as renovações de água no tratamento heterotrófico. A renovação de água que foi utilizada para controlar as altas concentrações de nitrito no mesmo, e assim acabou contribuindo para a redução da matéria organica que estava presente nesse sistema.

No presente trabalho utlizando um sistema integrado IMTA com a tecnologia de BFT com diferentes fertilizações foi constatadas diferenças no desempenho zootecnico, sendo maiores no tratamento quimioautotrófico comparado ao tratamento heterotrófico, provavelmente isso esta relacionado com a qualidade da água desse tratamento ja que os nitrogenados como amonia total e nitrito foram menores. O uso de uma fertilização prévia no tratamento quimioautotrófico, promoveu valores mais baixos de nitrogenados tóxicos

devido a biomassa bacteriana previamente estabelecida, com isso a manutenção da qualidade de água e o aporte correto da ração promoveram melhores condições para o crecimento dos animais. Os valores de desempenho zootécnico encontrados nesse tratamento foram semelhantes aos encontrados por outros autores como Holanda *et al.* (2020) usando sistema IMTA com tecnologia de BFT convencional na produção de camarão e tainha e Ferreira *et al.* (2021) na engorda de monocultivo de camarão.

Já para o tratamento heterotrófico que se iniciou em água clara sem nenhuma colônia bacteriana estabelecida como consequência apresentaram picos dos compostos nitrogenados maiores e durou mais tempo. Devido as elevadas concentrações de nitrito foram feitas reduções na oferta de ração como manejo para tentar prevenir mortalidade, alem disso a exposição crônica ao nitrito pode ter causado estresse aos animais prejudicando o desempenho nesse tratamento. De acordo com Huang *et al.* (2020) o *L. vannamei* apresenta crescimento reduzido quando exposto a altas concentrações crônicas de nitrito (2 a 20 mg L⁻¹) em salinidade 30 e que esse composto possa desequilibrar a microbiota intestinal digestiva dessa espécie.

Apesar de haver mortalidade nos tratamentos os valores elevados de amônia e nitrito, pareceu não interferir significativamente na sobrevivência dos animais em ambos os tratamentos, nos dando a entender que as técnicas adotadas como renovação de água e redução de ração no tratamento heterotrófico foram eficientes para manter os animais vivos, mostrando a rusticidade das espécies produzidas, enfatizando uma boa escolha de produção. Resultados semelhantes aos encontrados por Valencia- Castñeda *et al.* (2017), testando a influência da renovação de água e redução de ração, afirmando que esses métodos sao eficazes para manter a sobrevivência dos animais.

A produção integrada permite utilizar consumidores orgânicos com características filtradoras para se alimentar dos resíduos presentes no sistema, o que acaba gerando um fator de conversão alimentar mais baixo. Neste trabalho as tilápias receberam ração com relação a 1% da sua biomassa total, forçando os peixes a consumir os bioflocos. Holanda *et al.* (2022) também apresentaram valores baixos de conversão alimentar $0,60 \pm 0,0$ em um sistema IMTA com oferta de ração de 1% da biomassa total dos peixes, porém com crescimento semanal um pouco inferior aos encontrado em nosso trabalho de 12 (g semana $^{-1}$), isso provavelmente se deve a elevada densidade utilizada de 100 peixes/m 3 comparado a nossa de 45 peixes m $^{-3}$.

O sistema multitrófico integrado proporciona a divesificação de produtos através do cultivo de diferentes espécies, com isso é nescessário que os parametros de qualidade de água estejam nos níveis ideiais para cada espécie (Chopin., 2015). O cultivo multitrófico em sistema quimioautotrófico apresentou melhor produtividade de camarão, e diferente do encontrado por Poli *et al.* (2019) as tilápias cultivadas em sistema quimioautotrófico não apresentaram menor crescimento comparado ao sistema heterotrófico. O aproveitamento dos resíduos produzidos proporciona maior sustentabilidade e produtividade ao cultivo, sendo uma das vantagens do sistema multitrófico.

6 Conclusão

O surgimento do nitrato no sistema nos indica que a fertilização prévias com sais de cloreto de amônia e nitrito de sódio proporcionaram o estabelecimento das bactérias quimioautotróficas no sistema, promovendo a manutenção dos parâmetros de qualidade de água, não sendo necessário reduzir a alimentação dos animais e também fazer renovações de água.

Portanto o cultivo multitrófico integrado com camarão e tilápia se mostrou viável em sistema quimioautotrófico devido a manutenção da qualidade de água observado pelos graficos neste tratamento, proporcionando uma maior produção de biomassa de camarão ao final do cultivo, e mesma produção de biomassa de peixe comparado ao heterotrófico.

858 7 Referências Bibliográficas

- Amionot, A., Chaussepied, M. 1983. Manuel des analyses chimiques en milieu marin.
- Centre National pour l'exploitation des oceans CNEXO. Brest, França. 395p.
- 861 American Public Health Association (APHA), 1989. Standard Methods for the
- Examination of Water and Waste Water, 16th edn. American Public Health
- Association, AWWA, WPFC, New York.
- Araneda, M., Gasca-Leyva, E., Vela, M. A., Domínguez-May, R., 2020. Effects of
- temperature and stocking density on intensive culture of Pacific white shrimp in
- freshwater. J. Therm. Biol. 102756. https://doi.org/10.1016/j.jtherbio.2020.102756.
- Avnimelech, Y., 1999. Carbon/nitrogen ratio as a control element in aquaculture systems.
- 868 Aquac. 227–235.
- 869 Avnimelech, Y., Kochba, M. 2009. Evaluation of nitrogen uptake and excretion by tilapia
- in bio floc tanks, using N-15 tracing. Aquac. 287, 163-168.
- 871 Bendschneider, K., Robinson, R. J. 1952. New spectrophotometric method for the
- determination of nitrite in water. Fresenius Environ. Bull.
- https://doi.org/10.1007/BF00388430.
- Brandão, H., Xavier, Í. V., Santana, G. K. K., Santana, H. J. K., Krummenauer, D.,
- Wasielesky, W., 2021. Heterotrophic versus mixed BFT system: Impacts on the
- water use, suspended solids production and growth performance of *Litopenaeus*
- 877 *vannamei*. Aquac. Eng. 95, 102194.
- https://doi.org/10.1016/j.aquaeng.2021.102194.
- Braz, R. da S., Silva, I. de O., Tesser, M. B., Sampaio, L. A., Rodrigues, R. V., 2017.
- Benzocaína, MS-222, eugenol e mentol como anestésicos para juvenis de tainha
- 881 *Mugil liza*. B. Inst. Pesca. 43, 605-613. https://doi.org/10.20950/1678-
- 882 2305.2017v43n4p605.
- Brito, L. O., Arantes, R., Magnotti, C., Derner, R., Pchara, F., Oliveira, A., Vinatea, L.,
- 884 2013. Water quality and growth of Pacific white shrimp *Litopenaus vannamei*
- (Boone) in co-culture with green seaweed *Ulva lactuca* (Linaeus) in intensive
- 886 system. Aquac. Int. 22, 2, 497-508. https://doi.org/10.1007/s10499-013-9659-0.
- Brito, L. O., Arana, L. A. V., Soares, R. B., Severi, W., Miranda, R. H., da Silva, S. M.
- B. C., Coimbra, M. R. M., Gálvez, A. O., 2014. Water quality, phytoplankton

- composition and growth of *Litopenaeus vannamei* (Boone) in an integrated biofloc
- system with *Gracilaria birdiae* (Greville) and *Gracilaria domingensis* (Kutzing).
- 891 Aquac. Int. 22, 1649-1664. https://doi.org/10.1007/s10499-014-9771-9.
- 892 Burford, M. A., Williams, K. C., 2001. The fate of nitrogenous waste from shrimp
- feeding. Aquac. 198, 79-93. https://doi.org/10.1016/S0044-8486(00)00589-5.
- Burford, M. A., Thompson, P. J., McIntosh, R. P., Bauman, R. H., Pearson, D. C., 2004.
- The contribution of flocculated material to shrimp (*Litopenaeus vannamei*)
- nutrition in a high-intensity, zero-exchange system. Aquac. 232, 535-537.
- 897 https://doi.org/10.1016/S0044-8486(03)00541-6.
- 898 Carvalho, A., Costa, L. C. de O., Holanda, M., Poersch, L. H., Turan, G., 2023. Influence
- of total suspended solids on the growth of the sea lettuce *Ulva lactuca* integrated
- with the pacific white shrimp *Litopenaeus vannamei* in a biofloc system. Fishes. 8,
- 901 163. https://doi.org/10.3390/fishes8030163.
- Chopin, T., 2018. Aquaculture comes in many shapes and fashions.
- 903 Chopin, T., 2015. Marine aquaculture in Canada: Well-established monocultures of
- finfish and shellfish and an emerging Integrated Multi-trophic Aquaculture (IMTA)
- approach including seaweeds, other invertebrates, and microbial communities.
- 906 Fisheries, 40, 28-31. https://doi.org/10.1080/03632415.2014.986571.
- 907 Cohen, J. M., Samocha, T. M., Fox, J. M., Gandy, R. L., Lawrence, A. L., 2005.
- 908 Characterization of water quality factors during intensive raceway production of
- juvenile *Litopenaeus vannamei* using limited discharge and biosecure management
- 910 tools. Aquacult. Eng. 32, 425-442. https://doi.org/10.1016/j.aquaeng.2004.09.005.
- 911 Costa, L.C.O., Poersch, L.H.S., Abreu, P.C., 2021. Biofloc removal by the oyster
- 912 Crassostrea gasar as a candidate species to an Integrated Multi-Trophic
- Aquaculture (IMTA) system with the marine shrimp *Litopenaeus vannamei*.
- 914 Aquac. 540, 736731. https://doi.org/10.1016/j.aquaculture.2021.736731.
- Da Silva, K. R., Wasielesky, W., Abreu, P. C., 2013. Nitrogen and phosphorus dynamics
- in the biofloc production of the Pacific white shrimp, *Litopenaeus vannamei*. J.
- 917 World. Aquac. Soc. 44, 30-41. https://doi.org/10.1111/jwas.12009.
- 918 David, F. S., Proença, D. C., Valenti, W. C., 2017. Phosphorus Budget in Integrated
- 919 Multitrophic Aquaculture Systems with Nile Tilapia, *Oreochromis niloticus*, and

- 920 Amazon River Prawn, Macrobrachium amazonicum. J. World. Aquac. Soc. 48,
- 921 402–414. https://doi.org/10.1111/jwas.12404.
- Du, R., Liu. L., Wang, A., Wang, Y., 2013. Effects of temperature, algae biomas and
- ambient nutrient on the absorption of dissolved nitrogen and phosphate by
- Rhodophyte *Gracilaria asiatica*. Chin. J. Oceanol. Limnol. 31, 2, 353-365.
- 925 http://dx.doi.org/10.1007/s00343-013-2114-2.
- 926 Ebeling, J. M., Timmons, M. B., Bisogni, J. J., 2006. Engineering analysis of the
- stoichiometry of photoautotrophic, autotrophic, and heterotrophic removal of
- 928 ammonia–nitrogen in aquaculture systems. Aquac. 257, 346–358.
- 929 https://doi.org/10.1016/j.aquaculture.2006.03.019.
- 930 Ekasari, J., Angela, D., Hadi, S., Harris, E., Bossier, P., Schryver, P. De. 2014. The size
- of biofloc determines the nutritional composition and the nitrogen recovery by
- 932 aquaculture animals. Aquac. 426–427, 105–111.
- 933 https://doi.org/10.1016/j.aqualcuture.2014.01.023.
- 934 Ekasari, J., Rivandi, D. R., Firdausi, A. P., Surawidjaja, E. H., Zairin Jr, M., Bossier, P.,
- De Schryver, P., 2015. Biofloc technology positively affectes Nile tilapia
- 936 (Oreochromis niloticus) larvae performance. Aquac. 441, 72-77.
- 937 https://doi.org/10.1016/j.aquaculture.2015.02.019.
- 938 Espírito Santo, C. M. do, Pinheiro, I. C., de Jesus, G. F. A., Mouriño, J. L. P., Vieira, F.
- do N., Seiffert, W. O., 2016. Soybean molasses as an organic carbon source in the
- farming of *Litopenaeus vannamei* (Boone, 1931) in a biofloc system. Aquac. Res.
- 941 1-9. https://doi.org/10.1111/are.13020.
- 942 FAO. 2014. The State of World Fisheries and Aquaculture: Opportunities and challenges.
- 943 Roma. 1–243.
- 944 FAO. 2022. The State of World Fisheries and Aquaculture 2022. Towards Blue
- 945 Transformation. Rome, FAO.
- 946 Ferreira, L. M. H., Lara, G., Wasielesky Jr, W., Abreu, P. C., 2015. Biofilm versus
- biofloc: Are artificial substrates for biofilm production necessary in the BFT
- 948 system. Aquac. Int. 24, 921-930. https://doi.org/10.1007/s10499-015-9961-0.
- 949 Ferreira, G. S., Silva, V. F., Martins, M. A., Da Silva, A. C. C. P., Machado, C., Seiffert,
- W. Q., Vieira, F. do N. 2020. Strategies for ammonium and nitrite control in

- 251 Litopenaeus vannamei nursery systems with bioflocs. Aquac. Eng. 88, 102040.
- 952 https://doi.org/10.1016/j.aquaeng.2019.102040.
- 953 Ferreira, G. S., Santos, D., Schmachtl, F., Machado, C., Fernandes, V., Bögner, M.,
- Schleder, D. D., Seiffert, W. Q., Vieira, F. N., 2021. Heterotrophic, chemoautotrofic
- and mature approaches in bioflocs system for pacific white shrimp. Aquac. 533,
- 956 736099. https://doi.org/10.1016/j.aquaculture.2020.736099.
- 957 Fleckenstein, L. J., Kring, N. A., Tierney, T. W., Fisk, J. C., Lawson, B. C., Ray, A. J.
- 958 2020. The effects of artificial substrate ans stoking density on Pacific White shrimp
- 959 (Litopenaeus vannamei) performance and water quality dynamics in high tunnel-
- 960 based biofloc systems. Aquac. Eng. 90: 102093.
- 961 https://doi.org/10.1016/j.aquaeng.2020.102093.
- 962 Furtado, P. S., Poersh, L. H., Wasialesky Jr, W., 2011. Effect of calcium hydroxide,
- carbonate and sodium bicarbonate on water quality and zootechnical performance
- of shrimp *Litopenaues vannamei* (BFT) systems. Aquac. 321, 130-135.
- 965 https://doi.org/10.1016/j.aquaculture.2011.08.034.
- 966 Furtado, P. S., Poersch, L. H., Wasielesky, W., 2014. The effect of different alkalinity
- levels on *Litopenaeus vannamei* reared with biofloc technology (BFT). Aquac. Int.
- 968 23, 345–358. https://doi.org/10.1007/s104990-014-9819-x.
- 969 Gamito, S., Quental-Ferreira, H., Parejo, A., Aubin, J., Christensen, V., Cunha, M. E.,
- 970 2020. Integrated multi-trophic aquaculture systems: energy transfers and food web
- organization in coastal earthen ponds. Aquac. Environ. Interct. 12, 457-470.
- 972 https://doi.org/10.3354/aei00375.
- 973 Gao, W., Tian, L., Huang, T., Yao, M., Hu, W., Xu, Q., 2016. Effect os salinity on the
- growth performance, osmolarity and metabolism-related gene expression in white
- 975 shrimp *Litopenaeus vannamei*. Aquac. Rep. 4, 125-129.
- 976 https://doi.org/10.1016/j.agrep.201609.001.
- 977 Gaona, C. A. P., Almeida, M. S., Viau, V., Poersch, L. H., Wasielesky, W., 2015. Effect
- of different total suspended solids levels on a *Litopenaeus vannamei* (Boone, 1931)
- 979 BFT culture system during biofloc formation. Aquac. Res. 1-10.
- 980 https://doi.org/10.1111/are.12949.
- 981 Gaona, C. A. P., Serra, F. da P., Furtado, P. S., Poersch, L. H., Wasielesky, W., 2016.
- Biofloc management with different flow rates for solids removal in the *Litopenaeus*

- 983 vannamei BFT culture system. Aquac. Int. 24, 1263-1275.
- 984 https://doi.org/10.1007/s10499-016-9983-2.
- 985 García-Ríos, L., Miranda-Baeza, A., Coelho-Emerenciano, M. G., Huerta-Rábago, J. A.,
- 986 & Osuna-Amarillas, P., 2019. Biofloc technology (BFT) applied to tilapia
- 987 fingerlings production using different carbono sources: Emphasis on comercial
- 988 applications. Aquac. 502, 26-31.
- 989 https://doi.org/10.1016/j.aquaculture.2018.11.057.
- 990 Handy, M., Samocha, T., Patnaik, S., Gandy, R., McKee, D., 2004. Nursery trial
- compares filtration system performance in intensive raceways. Global Aquacult.
- 992 Advoc. 8, 77–79.
- 993 Holanda, M., Santana, G., Furtado, P., Rodrigues, R. V., Cerqueira, V. R., Sampaio, L.
- A., Wasielesky., W., Poersch, L. H. 2020. Evidence of total suspended solids
- control by Mugil liza reared in an integrated system with pacific white shrimp
- 996 Litopenaeus vannamei using biofloc technology. Aquac. Rep. 18, 100479.
- 997 https://doi.org/10.1016/jagrep.2020.100479.
- 998 Holanda, M., Wasielesky Jr, W., Lara, G. R., Poersh, L. H., 2022. Production of marine
- shrimp integrated with tilapia at high densities and in a biofloc system: choosing
- the best spatial configuration. Fishes. 7, 283.
- 1001 https://doi.org/10.3390/fishes7050283.
- Huang, Z., Wan, R., Song, X., Hallerman, E., 2013. Assessment of AquaMats for
- removing ammonia in intensive commercial Pacific white shrimp *Litopenaeus*
- 1004 vannamei aquaculture systems. Aquac. Int. 21, 1333-1342.
- 1005 https://doi.org/10.1007/s10499-013-9636-7.
- 1006 Huang, M., Xie, J., Yu, Q., Xu, C., Zhou, L., Qin, J. G., Chen, L., Li, E., 2020. Toxic
- effect of chronic nitrite exposure on growth and health in Pacific white shrimp
- 1008 Litopenaeus vannamei. Aquac. 529, 735664.
- 1009 https://doi.org/10.1016/j.aquaculture.2020.735664.
- Jory, D. E., Cabrera, T. R., Dugger, D. M., Fegan, D., Lee, P. G., Lawrence, A. L.,
- Jackson, C. J., McIntosh, R. P., Castañeda, J., 2001. A global review of shrimp feed
- management: status and perspectives. In: Browdy, C.L., Jory, D.E. (Eds.), The New
- 1013 Wave: Proceedings of the Special Session on Sustainable Shrimp Culture. The
- World Aquaculture Society, Baton Rouge, pp. 104–152.

- 1015 Khanjani, M. H., Sajjadi, M. M., Alizadeh, M., Sourinejad, I., 2016. Nursey performance
- of Pacific white shrimp (*Litopenaeus vannamei* Boone, 1931) cultivated in a biofloc
- system: the effect of adding different carbon sources. Aquac. Res. 1-11.
- 1018 https://doi.org/10.1111/are.12985.
- 1019 Khanjani, M. H., Zahedi, S., Mohammadi, A., 2022. Integrated multitrophic aquaculture
- 1020 (IMTA) as an environmentally friendly system for sustainable aquaculture:
- functionality, species, and application of biofloc technology (BFT). Environ. Sci.
- 1022 Pollut. Res. 29, 67513-67531. https://doi.org/10.1007/s11356-022-22371-8.
- Kleitou, P., Kletou, D., & David, J. 2018. Is Europe ready for integrated multi-trophic
- aquaculture? A survey on the perspectives of European farmers and scientists with
- 1025 IMTA experience. Aquac. 490, 136–148.
- 1026 https://doi.org/10.1016/j.aquaculture.2018.02.035.
- Li, J., Jiang, H., Li, L., Zhang, X., Chen, J. 2019. The effect of disease and season to
- hepatopancreas and intestinal mycobiota of *Litopenaeus vannamei*. Front.
- 1029 Microbiol. 10. https://doi.org/10.3389/fmicb.2019.00889.
- Lin, Y.-C., Chen, J.-C., 2003. Acute toxicity of nitrite on *Litopenaeus vannamei* (Boone)
- juveniles at different salinity levels. Aquac. 224, 193-201.
- 1032 https://doi.org/10.1016/S0044-86(03)00220-5.
- Martínez-Córdova, L. R., Martínez-Porchas, M., Emerenciano, M. G. C., Miranda-Baeza,
- A., Gollas-Galván. 2016. From microbes to fish the next revolution in food
- production. Crit. Rev. Biotechnol. 37(3): 287-295.
- 1036 https://doi.org/10.3109/07388551.2016.1144043.
- Madigan, michael t., Martinko, johm M., Bender, kelly s., Buckley, daniel h., Stahl, david
- a., 2016. Microbilogia de brock, 14th ed.
- Morais, A. P. M. de, Abreu, P. C., Wasielesky Jr, W., Krummenauer, D., 2019. Effect of
- aeration intensity on the biofilm nitrification process during the production of the
- white shrimp *Litopenaeus vannamei* (Boone, 1931) in biofloc and clear water
- systems. Aquac. 734516. https://doi.org/10.1016/j.aquaculture.2019.734516.
- 1043 Moreno-Arias, A., López-Elías, J. A., Martínez-Córdova, L. R., Ramírez-Suárez, J. C.,
- 1044 Carvallo-Ruiz, M. G., García-Sánchez, G., Lugo-Sánchez, M. E., Miranda-Baeza,
- 1045 A. 2018. Effect of fishmeal replacement with a vegetable protein mixture on the

- amino acid and fatty acid profiles of diets, biofloc and shrimp cultured in BFT
- system. Aquac. 483: 53-62. https://doi.org/10.1016/j.aqualcuture.2017.10.011.
- Naylor, R. L., Hardy, R.W., Bureau, D.P., Chiu, A., Elliot, M., Farrell, A.P., Forster, I.,
- Gatlin, D. M., Goldburg, R.J., Hua, K., Nichols, P.D., 2009. Feeding aquaculture
- in an era of finite resources. Proceed. Nat. Acad. Sci. 106, 15103-15110.
- 1051 https://doi.org/10.1073/pnas.0905235106.
- Oliveira, L. K., Pilz, L., Furtado, P. S., Ballester, E. L. C., Bicudo, A. J. A., 2021. Growth,
- nutritional efficiency, and profitability of juvenile GIFT strain of Nile tilapia
- 1054 (*Oreochromis niloticus*) reared in biofloc system on graded feeding rates. Aquac.
- 1055 541, 736830. https://doi.org/10.1016/j.aquaculture.2021.736830.
- 1056 Poli, M. A., Legarda, E. C., de Lorenzo, M. A., Pinheiro, I., Martins, M. A., Seiffert, W.
- Q., Vieira, F. do N. 2019. Integrated multitrophic aquaculture applied to shrimp
- rearing in a biofloc system. Aquac. 511: 734274.
- 1059 https://doi.org/10.1016/j.aquaculture.2019.734274.
- 1060 Reid, G.K., Lefebvre, S., Filgueira, R., Robinson, S.M.C., Broch, O.J., Dumas, A.,
- 1061 Chopin, T.B.R., 2018. Performance measures and models for open-water integrated
- multi-trophic aquaculture. Rev. Aquac. 1-29. https://doi.org/10.1111/raq.12304.
- Robles-Porchas, G. R., Gollas-Galván, T., Martínez-Porchas, M., Martínez-Cordova, L.
- 1064 R., Miranda-Baeza, A., Vargas-Albores, F. 2020. The nitrification process for
- nitrogen removal in biofloc system aquaculture. Rev. Aquac. 1-22.
- 1066 https://doi.org/10.1111/raq.12431.
- 1067 Roriz, G. D., Delphino, M. K. V. C., Gardner, I. A., Gonçalves, V. S. P., 2017.
- 1068 Characterization of tilapia farming in net cages at a tropical reservoir in Brazil.
- 1069 Aquac. Rep. 6, 43-48. https://doi.org/10.1016/j.agrep.2017.03.002.
- 1070 Rosa, J., Lemos, M. F. L., Crespo, D., Nunes, M., Freitas, A., Ramos, Pardal, M. Â.,
- 1071 Leston, S. 2019. Integrated multitrophic aquaculture systems Potential risks for
- food safety. Trends. Food. Sci. Technol. 96, 79-90.
- 1073 https://doi.org/10.1016/j.rifs.2019.12.008.
- Rosa, J., Lemos, M. F. L., Crespo, D., Nunes, M., Freitas, A., Ramos, F., Pardal, M. Â.,
- Leston, S., 2020. Integrated multitrophic aquaculture systems potential risks for
- 1076 food safety. Trends Food Sci. Technol. 96, 79-90.
- 1077 https://doi.org/10.1016/j.tifs.2019.12.008.

- 1078 Schveitzer, R., Arantes, R., Costódio, P. F. S., do Espírito Santo, C. M., Arana, L. V.,
- Seiffert, W. Q., Andreatta, E. R. 2013. Effect of different biofloc levels on microbial
- activity, water quality and performance of *Litopenaeus vannamei* in a tank system
- operated with no water exchange. Aquac. Eng. 56, 59-70.
- 1082 https://doi.org/10.1016/j.aquaeng.2013.04.006.
- Da Silva, K. R., Wasieleski Jr, W., Abreu, P. C., 2013. Nitrogen and phosphorus
- dynamics in the biofloc production of the pacific white shrimp, Litopenaeus
- 1085 *vannamei*. J. World Aquac. Soc. 44, 30-41. https://doi.org;10.1111/jwas.12009.
- Stewart, N. T., Boardman, G. D., Helfrich, L. A., 2006. Characterization of nutrient
- leaching rates from settled rainbow trout (*Oncorhynchus mykiss*) sludge. Aquac.
- Eng. 35, 191-198. https://doi.org/j.aquaeng.2006.01.004.
- 1089 Strickland, J. D. H., Parsons, T. R. 1972. A pratical handbook of seawater analysis.
- Second. Ed. Fisheries Research Board of Canada, Ottawa, Ontario, Canada.
- 1091 UNESCO, 1983. Chemical Methods for Use in Marine Envi- ronmental Monitoring.
- Manual and Guides 12, Intergov- ernamental Oceanographic Commissiony, Paris,
- France.
- 1094 Valencia-Castañeda, G., Vanegas-Pérez, R. C., Frías-Espericueta, M. G., Chávez-
- Sánchez, M. C., Ramírez-Rochin, J., Páez-Osuna, F., 2017. Comparison of four
- treatments to evaluate acute toxicity of nitrite in shrimp *Litopenaeus vannamei*
- postlarvae: Influence of feeding and the renewal water. Aquac. 491, 375-380.
- 1098 https://doi.org/10.1016/j.aquaculture.2017.12.037.
- 1099 Vinatea, L., Gálvez, A. O., Browdy, C. L., Stokes, A., Venero, J., Haveman, J., Lewis, B.
- L., Lawson, A., Shuler, A., Leffler, J. W., 2010. Photosynthesis, water respiration
- and growth performance of *Litopenaeus vannamei* in a super-intensive raceway
- culture with zero water exchange: interaction of water quality variables. Aquac.
- Eng. 42, 1, 17-24. https://doi.org/10.1016/j.aquaeng.2009.09.001.
- Wasielesky, W., Atwood, H., Stokes, A., Browdy, C.L. 2006. Effect of natural production
- in a zero-exchange suspended microbial floc based super-intensive culture system
- for white shrimp Litopenaeus vannamei. Aquac. 258, 396–403.
- 1107 https://doi.org/10.1016/j.aquaculture.2006.04.030.

1108